



## MEMORIA DE LA INTERVENCIÓN ARQUEOLÓGICA EN LA ESTRUCTURA TUMULAR DE SOTOALDEA (MAÑERU, NAVARRA)

M<sup>a</sup> Amor BEGUIRISTAIN\*  
David VÉLAZ\*\*  
Ester ÁLVAREZ\*\*\*  
Raquel UNANUA\*\*\*\*

**RESUMEN:** Se presenta el balance del resultado de la excavación arqueológica, por vía de urgencia, en una estructura megalítica descubierta sobre terraza fluvial, en la red hidrográfica del Ebro medio. Tanto la datación relativa como la absoluta sitúan su momento de uso en el Calcolítico precampaniforme.

**SUMMARY:** We present the result of the urgent archaeological excavation developed in a megalithic structure on fluvial terrace, in the hydrographic network of the river Ebro. As much the relative dating as the absolute one locates the moment of use in the Calcolithic.

### 1. REFERENCIAS GEOGRÁFICAS

Esta estructura megalítica denominada con el nombre del paraje en el que se ubica, fue levantada en la margen derecha del río Arga, en la segunda terraza contando a la inversa de su formación, esto es, desde el cauce del río, no lejos de la confluencia con el río Salado. El Arga, afluente del Ebro por su margen izquierda, describe en este lugar amplios meandros que sirven de límite entre el municipio de Mañeru, donde se localiza Sotoaldea, y los vecinos términos municipales de Puente la Reina y Mendigorriá.

El yacimiento se sitúa entre las siguientes coordenadas cartesianas, en la Hoja 173 de Tafalla del MTN a escala 1: 50.000: Longitud: 01° 50' 24"; Latitud: 42° 38' 48"<sup>1</sup>. Su altitud máxima es de 338m. (Figura 1).

Con un mayor distanciamiento cartográfico, esta porción del Valle del Salado pertenece a la llamada Navarra Media Occidental, casi en el límite con la Oriental ya que es el río Arga el encargado de marcar el límite convencional entre ambas (Floristán, 1772: 140). La Navarra Media es zona de transición entre la Navarra boscosa de la Montaña y la de paisajes más contrastados de la Ribera del Ebro donde la aridez interior contrasta con las verdes vegas. Entre la economía preferentemente pastoril, con una agricultura subsidiaria del Norte, y la eminentemente agrícola de la Ribera bañada por el Ebro y sus afluentes al Sur, donde la ganadería tradicionalmente se ha localizado en las corralizas de parajes áridos carentes de los beneficios del riego. Los rasgos geográficos transicionales de esta Zona Media han tenido

\* mbeguiri@unav.es

\*\* dvelaz@unav.es

\*\*\* calvare3@alumni.unav.es

\*\*\*\* rakeluna@yahoo.es

también su reflejo en las costumbres de sus gentes configurando históricamente la peculiar forma de ser de sus pobladores con rasgos mixtificados y acrisolados. Geográficamente ha sido zona atravesada por pasos históricos, ya sean calzadas romanas, ya el camino de Santiago, ya las más recientes cañadas reales o sus traviesas, testigos del tránsito de gentes y ganados.

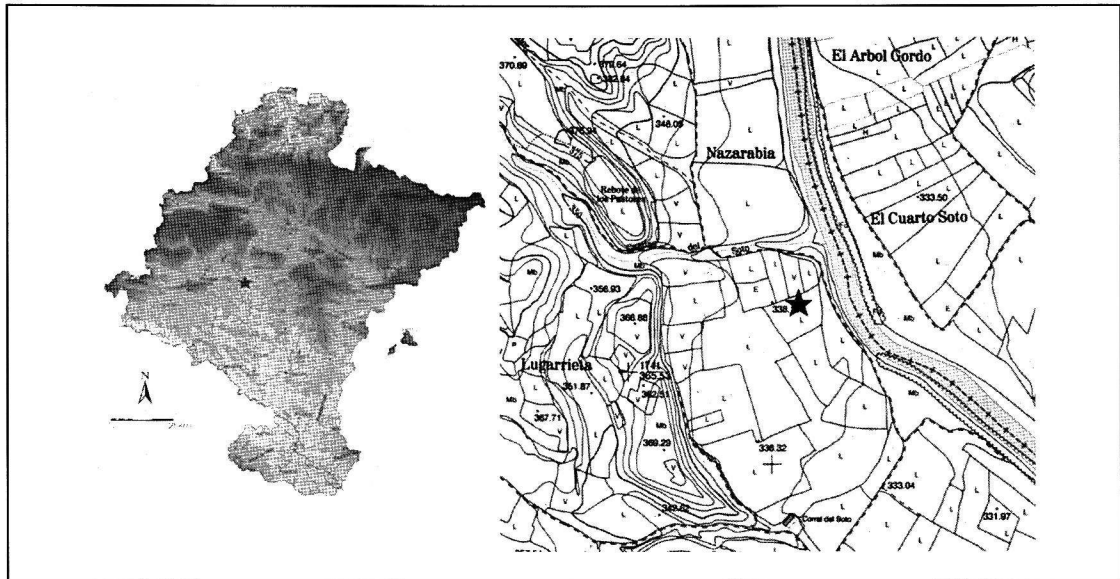


Figura 1.- Localización, a escala regional, del Valle del Salado y Cuenca del Arga, en la Navarra Media, indicando el emplazamiento de Sotoaldea en una terraza del río Arga.

## 2. HISTORIA DEL DESCUBRIMIENTO Y OBJETIVOS

Como se indicó en los diferentes avances realizados sobre Sotoaldea<sup>2</sup>, su hallazgo fue fruto de una serie de circunstancias complementarias. Por un lado, durante la fase inicial de inspección superficial del terreno llevada a cabo en el Valle del Salado, en el marco de un proyecto más amplio sobre el Megalitismo<sup>3</sup>, se observó en este paraje una anormal concentración de cantos rodados y lajas de arenisca de morfología subcircular. Entre esta concentración y el terreno circundante se recuperaron en superficie, tras varias visitas, casi un centenar de restos de huesos humanos, sílex y algunos fragmentos de cerámica de época histórica (TSH y fragmentos con vidrio) que nos hicieron sospechar que se podía tratar de una estructura relativamente moderna. La ausencia de una concentración significativa de estos restos nos llevó a desestimar inicialmente el hallazgo como posible yacimiento prehistórico. Posteriormente, advertidos por Jesús Sesma, arqueólogo territorial dependiente del Museo de Navarra<sup>4</sup>, de que había tenido noticias de que unos ortostatos de importancia habían sido arrancados de Sotoaldea y arrojados a un vertedero en la margen del río, se volvió sobre el lugar. El 20 de abril de 2000, tras una revisión más atenta se recuperó algún fragmento de cerámica manufacturada, lasquitas de sílex y nuevos restos óseos<sup>5</sup>. Se realizaron otras prospecciones oculares del terreno, un estudio más detallado de la cartografía, incluyendo la foto aérea, así como encuestas orales a algún vecino de Mañeru. En esta fase del trabajo la foto-

grafía aérea se mostró de alto interés como se indicará más adelante.

Personados en el Ayuntamiento, supimos de la identidad de los propietarios del terreno quienes, en su día, habían procedido a desmontar el montículo por los inconvenientes que ocasionaba en la maquinaria agrícola. Finalmente, las evidencias recuperadas y ciertas informaciones orales nos llevaron, con el beneplácito de los dueños de la parcela, a solicitar a la Dirección competente del Gobierno de Navarra (con fecha 17 de noviembre de 2000) permiso y ayuda para una intervención de urgencia<sup>6</sup>.

Los objetivos marcados eran concretos y creemos que suficientemente alcanzados:

- En primer lugar determinar la finalidad e identidad de la construcción: (funeraria o no; megalítica o no).
- En segundo lugar determinar su época de construcción y uso.
- En último lugar, plantear a las autoridades competentes qué tipo de actuación merecería el yacimiento.

Las condiciones meteorológicas en que se llevó a cabo el sondeo (diciembre de 2000 y primera semana de enero de 2001) no fueron las más idóneas, pero diferentes circunstancias nos impidieron posponer la intervención, pese a las dificultades para instalar una estructura que protegiera los trabajos de la persistente lluvia o agua-nieve que cayó buena parte de los días. El trabajo se llevó a cabo en codirección de los dos primeros firmantes de este artículo, contando con la colaboración de Raquel Unanua y Ester Álvarez quienes participaron también en el lavado e inventariado del material que se recuperó.

### 3. PLANTEAMIENTO DE LA EXCAVACIÓN

El panorama que ofrecía el lugar antes de la intervención no era el habitual en las estructuras megalíticas que estamos acostumbrados a visualizar en la geografía navarra. Se presentaba ante nosotros una zona de morfología subcircular ligeramente rehundida en la parte central, con abundancia de cantos rodados, algunos de tamaño muy grande, y lajas irregulares de arenisca a modo de mancha en la parcela de cereal que empezaba a verdear (Figura 2, fotos)

Por esta razón, la organización general del trabajo de campo y su desarrollo estuvieron condicionadas por la situación de urgencia de la intervención ya descrita. Se delimitó la extensión aproximada del área de intervención y, con el fin de tener una mejor visión de conjunto del lugar, se aplicó un programa de tratamiento de imagen que permitió crear un pseudorelieve del lugar que puso de manifiesto una estructura original con marcada tendencia elíptica en su planta (Figuras 2 y 3) La microtopografía puso de manifiesto la planta subcircular del yacimiento, cuyo diámetro máximo oscilaba entre los 25 y 30 metros. Además, se percibía una mayor altura en la parte NW de la estructura. Ya en 1967, año al que correspon-

día el vuelo del fotograma utilizado, la parte norte del túmulo mostraba un cierto deterioro. Resultó de probada eficacia, como se desprende de lo dicho, la fotografía aérea<sup>7</sup>. La utilidad de esta vieja herramienta de trabajo en tareas de prospección se hace evidente en actuaciones como la que nos ocupa. Su validez se confirma en trabajos relativamente recientes de otros autores (Redfren; Lyons y Redfren, 1999: 211 ss.)

Una vez delimitada la extensión, la estrategia general seguida en la intervención arqueológica ha sido la ya clásica que obedece a los principios del método de coordenadas cartesianas (Laplace, 1971:223-236). Se estableció un punto 0, aproximadamente en el centro del túmulo, a partir del cual se dividió el yacimiento en cuadrículas de 1 metro de lado, designadas por un número y una letra. En previsión de posibles actuaciones en un futuro en cualquier dirección, se otorgaron, a partir del punto 0, números impares a una dirección y los números pares a la opuesta; y las letras del alfabeto (A,B,C,...) en una dirección y las mismas letras pero en orden inverso en la opuesta (Z, Y, X...) (Figura 4). La carencia de promontorios estables en la finca, nos indujo a situar un punto externo a la misma para referenciar las profundidades. Elegimos el borde de una alcantarilla de cemento existente entre la finca y el camino, por debajo de la cota del yacimiento<sup>8</sup>. Una vez delimitado sobre el terreno el perímetro difuso de la estructura arrasada, se planteó la cata desde el centro en dirección NE, con una extensión de 10 m<sup>2</sup> insistiendo en la zona central donde cabría suponer se localizaría el recinto cameral.

El resultado fue la excavación de una zanja en forma de L que afectó a los cuadros 1A; 3A; 5A; 7A; 9A;11A; 13A; 15A; 2A y 2Z de la mencionada cuadrícula. Se levantaron en la zona de mayor potencia hasta 103 cm (cuadros 7A y 9A de profundidad), que incluyeron varios centímetros de un nivel de arcillas aparentemente estériles.

Las principales dificultades con que nos topamos fueron el grado de alteración en que se encontraba el yacimiento y las condiciones climatológicas del mes de diciembre que es cuando tuvimos que excavar. Pese a ello, los resultados de la intervención los consideramos bastante satisfactorios ya que se han obtenido:

- un total de 392 restos inventariados y siglados de diferente entidad<sup>9</sup>;
- una fecha de C14 sobre uno de los restos humanos;
- información que constata la presencia en la Zona Media de Navarra de una estructura tumular nueva, asimilable al fenómeno megalítico, que está ubicada en cotas inferiores a los 400 msn, altitud claramente excepcional en nuestra geografía.

#### **4. LA ARQUITECTURA DE SOTOALDEA**

La limpieza de los restos desplazados puso de manifiesto (Figura 5, foto 1):

- Que el yacimiento de Sotoaldea estaba formado por una potente estructura pétreo tumular;

- Que los materiales utilizados en dicha estructura eran de dos tipos: lajas de arenisca y cantos.

Asimismo, la intervención arqueológica vino a confirmar lo que se apreciaba tras la limpieza inicial (Figura 5, fotos 2, 3 y planimetría):

1) Que nos encontrábamos ante una estructura tumular articulada por dos anillos, uno adyacente al recinto cameral, de areniscas, y otro periférico constituido por cantos abundantes en el lugar.

2) Que la distribución de las areniscas y cantos no era aleatoria sino que parecía obedecer a un plan que había sido perfectamente diseñado: cantos rodados, en un anillo perimetral de 2-3 m aproximadamente de ancho, y lajas de arenisca de tamaños muy variados en una zona intermedia por espacio de 4 o 5 metros.

3) Que ambos tipos de piedras se reducen ostensiblemente hacia el centro de la estructura, de donde se debieron extraer, según información oral, los ortostatos de arenisca.

4) Que la zona central, tras su excavación, dejó al descubierto cierta concentración de cantos rodados en su base, lo que facilitaba el drenaje de las abundantes aguas caídas durante la intervención<sup>10</sup>.

La creencia de que los cuadros 2A y 2Z debieron formar parte del supuesto recinto cameral tiene unos apoyos débiles pero creemos que suficientes. Por un lado, era la zona más rehundida; por otro, la información oral decía que se habían extraído grandes piedras. Al menos dos de ellas, que pudimos ver en un vertedero de difícil acceso, medían aproximadamente 2 metros. A esto se suma la presencia de algunos fragmentos de areniscas literalmente hincadas (Figura 6 superior).

Además, la mayor parte de los restos recuperados procedían de los cuadros centrales del túmulo (47 objetos de 2 A y 138 de 2 Z), es decir, 185 elementos del total de materiales, que suponen más del 50% si se excluye el material de superficie. Esta concentración en áreas puede apreciarse bien en el plano de la Figura 6.

No se pudieron discriminar más niveles que la base de la propia estructura funeraria, asentada sobre un nivel de arcillas finas que, en su contacto con la estructura pétreo, tenía una textura grasa con minúsculos carboncillos fruto de algún incendio previo (Figura 7). Más que de carboncillos podríamos hablar de limos tiznados puesto que fueron insuficientes para proceder a su identificación o a su datación por procedimientos de medición radioactivos.

## 5. ANÁLISIS DE LOS MATERIALES

Incluyendo la totalidad de objetos recuperados en diferentes rastreos, se han inventariado 392 ítems cuya identificación, por orden de sigla, puede hacerse en la tabla inventario

que se aporta al final. Atendiendo al criterio de la materialidad de su soporte se pueden clasificar en los siguientes apartados:

1. Restos osteológicos humanos (NR: 136)
2. Fauna (NR: 61)
3. Industria lítica tallada (NO: 20)
4. Lítica pulimentada (NO: 4)
5. Industria ósea (NR: 44)
6. Cerámica (NF: 63)

El análisis de cada uno de estos grupos se expone a continuación.

### 1. *Restos osteológicos humanos*

Como se ha avanzado, asciende a 136 el número de restos recuperados en total, entre ellos un número considerable de esquirlas de costillas y diáfisis de reducido interés diagnóstico. En la TABLA final puede comprobarse que en su mayoría proceden del cuadro 2Z. Es llamativa la ausencia de huesos largos y cráneos que atribuimos a la acción antrópica reciente para eludir evidencias sospechosas. No obstante, también llama la atención la escasez de huesos pequeños como falanges o dientes que podrían haberse caído en una recogida precipitada tal y como cabría suponer en un desmonte del tipo que aquí se llevó a cabo. Se han recuperado: un fragmento de calota de cráneo, menos de una decena de piezas dentarias, una veintena de vértebras y fragmentos, una docena de falanges, varios huesos de carpo y de tarso, así como varias epífisis de radio, fémur y húmero. Entre estos restos hay varios que tienen interés por la posibilidad, en algún caso, de determinar edad de muerte de sus dueños o por informar de enfermedades entre los usuarios del monumento<sup>11</sup>. Reseñamos los siguientes casos (Figura 8):

- MA7.25, trocante mayor femoral de un joven de 12 a 14 años a juzgar por el grado de osificación.
- MA7.210 y MA7. 262: escafoides tarsianos de adultos, ambos del pie derecho.
- MA7. 242, MA/. 330 y MA/. 344 epífisis proximal de fémur, de tibia y probable platillo epifisario tibial en los tres casos de niño.
- MA7.30, cuerpo vertebral de niño de menos de 7-8 años.
- MA7.148, 1<sup>a</sup> dorsal con apófisis espinosa bífida.
- MA7.241, lumbar de niño-joven (entre 8-12 años)
- MA7.343, sacro (falta el coxis) en conexión anatómica. Están presentes desde la 1<sup>a</sup> a la 5<sup>a</sup> sacra, todas completas salvo la 3<sup>a</sup> que está incompleta.
- MA7.345, vértebra torácica de adulto con picos de artrosis.
- MA7. 298, incisivo superior con grado muy alto de abrasión
- MA7. 319, molar de individuo joven (germen)

## 2. *Fauna*

La casi totalidad de los 61 restos identificados en este apartado pertenecen en su mayor parte a lagomorfos<sup>12</sup> (*Lepos/Oryctolagus*), con un número mínimo de 2 individuos. Los restos estaban muy localizados en los cuadros 1A y 5A, además un fragmento craneal encontrado en superficie. Se trata de liebre o conejo silvestre, a juzgar por su talla más menuda que las especies domésticas. Las fracturas son recientes y a simple vista no se aprecian huellas de descuartizado. Podría tratarse de elementos intrusivos aunque no recientemente. Los otros restos de fauna son sendas falanges de ovino y esquirlas indiferenciadas (Figura 9).

## 3. *Industria lítica tallada (Figuras 10 y 11)*

De los veinte restos inventariados, 17 se recuperaron en superficie y tan sólo tres en el transcurso de la excavación. Éstos son:

- MA7.23, lasquita durmiente de sílex blanco;
- MA7.87, fragmento de lasca de sílex gris con retoque ecaillé tendente a plano (¿funcional?) y denticulado inverso (A) en el borde opuesto;
- MA7.280, fragmento de lasca de sílex gris.

Las únicas piezas tipológicas proceden de los materiales recuperados en superficie que, como es obvio, pueden pertenecer a yacimientos al aire libre de momentos ajenos al monumento funerario (Figura 10). Se trata de<sup>13</sup>:

- MA7.1, perforador atípico (P1)
- MA7.2, lámina denticulada con borde opuesto romo por uso (D7)
- MA7.3, lasca denticulada, modo 2 (MD2)
- MA7.6, lámina de modo 3, con retoque Simple (SE) en todo su perímetro y dudoso frente de raspador, con fuerte costra calcárea (R9?, mejor D2)
- MA7.363, lasca de morfología circular con frente de raspador (R1)
- MA7.381, fragmento proximal de lámina con retoque ecaillé (D1)
- MA7.382, fragmento proximal-medial de laminita de modo 3 con talón facetado. Presenta muesca inversa en el borde derecho ejecutada sobre faceta plana de buril; el borde opuesto tiene retoque marginal denticulado (MD4)
- Los restantes objetos son fragmentos de lasca o lámina restos de talla.

## 4. *Lítica pulimentada*

En total son 4 elementos. Uno es un fragmento de roca tenaz pulimentada, al parecer ofita local (MA7.320), y tres son cuentas perforadas y pulidas, es decir, pertenecen a la categoría conocida como objetos de adorno personal o cuentas de collar. La descripción de estas últimas es como sigue:

- MA7.194: cuenta cilíndrica, irregular, en piedra negra grisácea, con perforación bipolar y

sección subcircular ya que una de sus superficies es aplanada. Dimensiones: longitud 21 mm, anchura 19 mm, espesor 15 mm, peso 8,4 grs. (Figura 12, nº3 y 13)

- MA7.195: cuenta tipo tonelete o de sección longitudinal biconvexa (Pérez y López, 1986) en roca verde de coloración no homogénea, bien pulida, con perforación bipolar desviada. Mide: 27 x 22 x 22 mm. Pesa: 14,6 grs. (Figura 12, nº 1 y 13)

- MA7.196: cuenta cilíndrica de piedra negra similar a la nº 194, con perforación bipolar y sección circular irregular. Longitud: 16 mm, anchura 21 mm, espesor 15 mm, peso 7,4 grs. (Figura 12, nº 2 y 13).

##### 5. Industria ósea (Figuras 14 y 15)

Se trata en su totalidad de piezas perforadas en hueso, son “cuentas de collar” que, como bien han destacado diferentes autores “*los nombres con que se han designado a las diferentes formas no han sido aplicados con un criterio uniforme, sino en general al arbitrio de los estudiosos*” (Enríquez, 1982: 171). Para T. Andrés las que aquí nos ocupan son de tipo en *arete* (1977: 106-107), *discoides planas* las denominan Barandiarán y Vallespi (1980: 152), *de arete o de aro* prefiere llamarlas Enríquez (1982:175), mientras que otros autores prefieren llamarlas de *tipo anular* (Pérez y López1986: 120), o *tipo arandela* (p. e. en Delibes et alii 1993: 58; Beguiristain 1995-96: 285) De ellas, 22 están completas (dos ha sido necesario encolar para darles más consistencia) pero llama la atención, en conjunto, el perfecto estado de conservación. Además se recuperaron otros 22 fragmentos que pese a mostrar fracturas recientes no se han conseguido hacer casar entre sí. La totalidad de las cuentas de collar de hueso y piedra se encontraron en los cuadros 2A y 1A, es decir, muy próximas entre sí (Vid. TABLA) Esa concentración parece confirmar que estamos en la zona mortuoria del monumento e incluso podría pensarse que pertenecieran todas ellas al mismo objeto (en la Figura 6 inferior, que reproduce la dispersión de restos por tipos se aprecia bien esta concentración).

La morfología de estas cuentas es circular y les caracteriza una perforación de diámetro amplio que se sitúa entre 9 y 5 mm. Esto les diferenciaría, como señala Enríquez, de las discoidales ya que éstas tienen “*forma de disco, de pequeño grosor y perforación estrecha*” (1982: 175 y 171). Llama la atención la regularidad de estas manufacturas tanto en su diámetro externo (solo difieren en 1-2 mm unas cuentas de otras) como en su espesor y peso. En el siguiente cuadro se concretan sus dimensiones y se aprecia perfectamente que la circunferencia externa mantiene un diámetro de 12 mm, en el 63,62% de los casos, lo que lleva a pensar que se buscaba este módulo intencionadamente, ya sea por condicionamiento de la materia prima o por otras razones que se nos escapan.

En todas las cuentas se aprecian a simple vista los estigmas de la abrasión. Algunas conservan en una de sus caras restos del tejido esponjoso interno del soporte óseo utilizado (por ejemplo: MA7.100, MA7.175, MA7.179) y son visibles planos y facetas. La perforación interior se aprecia con total nitidez que ha sido realizada cortando el hueso, incluso nos atrevemos a afirmar que en algunos casos, antes de la abrasión que ha servido para conformar las cuentas.

| Diámetro ext. máx.-mín. (mm) | Diámetro de la perforación (mm) | Espesor (mm) | Peso (grs.) | items | %     |
|------------------------------|---------------------------------|--------------|-------------|-------|-------|
| 14                           | 8-6                             | 2            | 2           | 1     | 4,54  |
| 14                           | 9                               |              |             | 1     | 4,54  |
| 13                           | 8                               |              |             | 1     | 4,54  |
| 13-12                        | 7-8                             |              |             | 1     | 4,54  |
| 13-12                        | 7-6                             | 2            | 2           | 1     | 4,54  |
| 12-11                        | 6                               | 2            | 2           | 1     | 4,54  |
| 12                           | 7                               | 1/2          | 1/2         | 7     | 31,81 |
| 12                           | 6                               | 1/2          | 1/2         | 3     | 13,63 |
| 12-10                        | 6                               | 1            | 1           | 1     | 4,54  |
| 11-10                        | 6                               |              |             | 2     | 9,09  |
| 11-10                        | 5                               |              |             | 1     | 4,54  |
| 11-9                         | 5                               |              |             | 1     | 4,54  |
| 10                           | 6                               |              |             | 1     | 4,54  |

## 6. Cerámica

Se han inventariado un total de 63 fragmentos cerámicos entre el material de superficie y el de excavación. *En superficie*, predominan las cerámicas torneadas, de cocción oxidante que pertenecen a varias vasijas: *dolia*, una jarrita de cerámica pigmentada con asa, varios fragmentos muy erosionados de *sigillata hispánica*, uno de ellos conserva una figurita (Figura 16 superior) y cerámica vidriada difícil de atribuir a una etapa histórica concreta. Parece obvio que poco tienen que ver con la estructura megalítica. También se recogieron en superficie cinco fragmentos de pared de vasijas manufacturadas cuyos grosores oscilan entre 11 y 7 mm. que han sufrido cocción reductora o mixta dando lugar a pastas negras y superficies negras, marrones o anaranjadas. Todos ellos presentan una arcilla con desgrasantes de cuarzo aunque visibles bien triturados, con excepción de MA7.10 y MA7.392 que muestran desgrasantes calizos blancos, de tamaño grande y visibles tanto en el borde como en las superficies de la vasija.

En cuanto al material cerámico recuperado en *excavación* hay que reseñar los siguientes aspectos:

- Que predominan los fragmentos muy pequeños de paredes de cerámica manufacturada cuyos grosores oscilan entre los 5 y 8 mm.
- Que las pastas son toscas, con arcilla mal decantada ya que es característica en su composición la abundancia de desgrasantes gruesos, angulosos, preferentemente de caliza. Desgrasantes de tamaño > a 5mm. de colores grisáceos y blanquecinos, bien visibles tanto en bordes como en las superficies interna y externa de las vasijas (Figura 17)
- Que en cuanto al acabado de las superficies, predominan los fragmentos de superficies pulidas aunque también hay algunos fragmentos sin pulir. En algún caso su tosca superficie puede deberse al deficiente estado de conservación.

- Que predomina la cocción reductora y mixta, con cerámicas de tonalidades negras y marrones, con alguna excepción anaranjada.
- Que el número mínimo de vasijas manufacturadas a las que corresponden los 63 fragmentos recuperados en excavación es de dos.
- Que dos de los fragmentos son sendos bordes de vasijas diferentes. Uno, el n<sup>o</sup> MA7. 74, pertenece a un recipiente con borde de perfil vertical y labio plano, de 18 cm. de diámetro en su boca, que conserva el arranque de una panza globular (Figura 18, n<sup>o</sup> 1 y foto inferior). Sus superficies pulidas dejan ver con claridad esa peculiaridad que hemos destacado en la mayoría de los fragmentos recuperados, a saber, los gruesos desgrasantes blancos que parecen intencionadamente utilizados como seña de identidad. El otro fragmento de borde (MA7. 24) está muy erosionado y muestra una costra marrón tanto en superficies como en los bordes que debe ser fruto de la matriz del sedimento arcilloso. Parece corresponderse con un borde exvasado, de labio redondeado. Sus superficies están muy erosionadas, la pasta anaranjada habla de cocción oxidante y muestra desgrasantes triturados, pequeños (<1-2mm), aunque visibles (Figura 18, n<sup>o</sup> 2 y foto inferior).
- Que en los cuadros 2A y 2Z, se recuperaron fragmentos de dos vasijas diferentes hechas a torno, una vidriada (n<sup>o</sup>. MA7.221-222 y 223 que casan entre sí) y otra de almacenaje posiblemente de época romana (MA7.164) Su posición en los 8 primeros centímetros de excavación, en sedimento revuelto por la extracción de los ortostatos en esta zona, permite explicar su presencia en estos cuadros como mera intrusión.

## 6. SÍNTESIS ARQUEOLÓGICA

Sotoaldea representa una novedad en la zona tanto por su ubicación como por la misma solución arquitectónica adoptada.

La *ubicación* de este yacimiento es peculiar ya que estamos hablando de una construcción megalítica en una terraza reciente y como queda dicho, es bastante infrecuente en el área de estudio levantar monumentos megalíticos en terrazas de inundación. Si bien es cierto que se han catalogado monumentos de montaña próximos a regatas o torrenteras, en la geografía navarra tan sólo se conoce una ubicación similar a la de Sotoaldea en el dolmen del Puente de Bigüézal, en la margen izquierda del río Salazar, pocos metros antes de que éste atravesase la foz de Arbayún (Maluquer de Motes 1955: 299). Por tanto, la elección del área funeraria por los constructores de esta arquitectura funeraria es bastante novedosa en navarra<sup>14</sup>.

En el espacio inmediato, sus constructores encontraron tanto canteras de areniscas de la llamada facies ibérica, material frecuente en todo el término municipal de Cirauqui, como cantos de río de diferentes tamaños acumulados en las terrazas del Arga. Sin embargo, el análisis territorial llevado a cabo en esta porción del valle indica que Sotoaldea tan sólo era *visible* desde un yacimiento de los atribuidos a éste segmento cronocultural, entre los localiza-

dos tras la prospección del territorio del río Salado<sup>15</sup>. Sin embargo, el túmulo sería bien visible para los habitantes de la margen opuesta del Arga, zona que no se ha prospectado y además, aunque no sea visible, no está distante de otros asentamientos del mismo término de Mañeru, separados por un modesto cordal.

En el mismo término de Sotoaldea, emergen otros montículos de piedra, en particular uno, que pudieran corresponder a estructuras de la misma finalidad que la estudiada pero la carencia de recursos nos ha impedido intervenir en ellos para evaluarlos adecuadamente. En principio consideramos Sotoaldea como una estructura funeraria única en su entorno más inmediato.

Respecto a la propia sepultura, hay que señalar que pese a las circunstancias y tipo de intervención llevadas a cabo, se han podido reconocer tres zonas constructivas diferenciadas que del interior al exterior se pueden definir en:

- Un recinto cameral con cantos rodados a modo de suelo. Algunos fragmentos de areniscas hincadas son los testigos del probable recinto cameral y del refuerzo de los ortostatos.
- Un anillo adyacente articulado a base de areniscas y tierra.
- Finalmente, un anillo periférico formado por una espesa capa de cantos rodados sin apenas tierra entre sí que tendría como función dotar al monumento de refuerzo externo a la vez que resaltar su solidez. (Vid. figuras 5, 6 y 7).

No parece frecuente este tipo de arquitectura en la región. En territorio navarro no son muchas las estructuras tumulares excavadas pero hay algunos dólmenes de montaña en los que a simple vista se perciben túmulos rodeados de un anillo de lajas hincadas, de potencia modesta, por ejemplo en *Jeneralem Tomba* de Errazu (Barandiaran 1949:370), o en el inédito de *Turendo* (Navascués). Mejor pudo determinarse esta función constructiva en *Miruatza*, donde la excavación permitió diferenciar perfectamente la estructura del túmulo formado por un anillo periférico de lajas de arenisca con forma preferentemente triangular, algunas de hasta 90 cm. de longitud, hincadas a modo de muro de contención, y contiguo, otro anillo de areniscas pequeñas, dispuestas horizontalmente, que rodeaban la zona más próxima al recinto cameral (Beguiristain, 1976:368-369). Presumimos que este sistema constructivo debió ser frecuente en los túmulos de montaña hoy prácticamente arrasados.

Sin embargo, túmulos como el de Sotoaldea podrían obedecer a prototipos más distantes. En La Lora (Burgos) varios ejemplos ponen de manifiesto soluciones arquitectónicas a base de anillos diferenciados. Por ejemplo en Fuentepecina I, se advierten tres anillos; en el exterior se dispone “...una coraza superficial de piedras bien trabadas, posteriormente un nivel de tierra en el que las piedras prácticamente se encuentran ausentes y, por último, un anillo pericameral en el que de nuevo aparecen las piedras que se disponen formando dos peristalitos que se encuentran separados unos 50 cm entre sí” (Delibes, Rojo y Represa, 1993: 75). Evidentemente no estamos seguros de si Sotoaldea tuvo “coraza” o hubo una parte

del túmulo con tierra, no se ha conservado más que la base, pero la diferenciación de zonas en la construcción tumular nos habla de conocimientos constructivos complejos, por lo que la excavación de esta parte de los megalitos puede mostrar variaciones significativas en un futuro.

Este tipo de estructuras tumulares, en el caso de La Lora, está muy en relación con dólmenes de corredor, como sucede en el ejemplo anteriormente citado o en los de La Cabaña o El Moreco. Éste hecho, junto a la presencia en las cercanías de Sotoaldea, de megalitos que se corresponden con este tipo, el inédito de Charracadía, en el mismo Valle del Salado o los cercanos de La Mina de Farangortea y Portillo de Enériz (Andrés, 1977: 403), nos animan a dejar abierta la hipótesis de que Sotoaldea pudo haber sido un sepulcro de corredor.

Resulta imposible conocer datos como los relativos a la *orientación* de la cámara, la *inversión de energía* o número de individuos implicados en su construcción, dadas las características de la intervención llevada a cabo.

En cuanto a tratamiento de los cuerpos, al número de individuos que se benefició del monumento y otros aspectos inevitables hoy en el estudio de un conjunto funerario, también resultan imposibles de abordar por el grado de conservación ya expuesto.

El cálculo mínimo de la exigua muestra antropológica recuperada es de cuatro individuos: dos adultos (recuperación de dos metatarsianos del mismo pie), un niño de menos de 7-8 años (molar con la zona radicular abierta) y un joven de 12-14 años (al que correspondería un trocante mayor femoral, a juzgar por el grado de osificación y posiblemente la vértebra lumbar de joven entre 8-12 años). En cuanto a la salud, hay evidencia de artrosis en vértebras y desgaste dentario muy acusado en adultos.

Los restos de “ajuar” recuperados no son abundantes pero sí representativos del acompañamiento de los individuos en un entorno megalítico. La cronología de Sotoaldea se ha establecido sobre bases arqueológicas reforzadas mediante la datación de un fragmento de peroné procedente del cuadro 2Z. La muestra fue datada en el laboratorio de Groningen con los siguientes resultados:

| Muestra   | Sigla    | Fecha BP sin cal. | Fecha A.C. sin cal. | Fecha a. C. cal. 2 <sup>o</sup> |
|-----------|----------|-------------------|---------------------|---------------------------------|
| GrA-18889 | MA7. 292 | 4560 $\pm$ 70     | 2610 $\pm$ 70       | 3510-3030                       |

Estas datas no son contradictorias con la datación relativa obtenida de los restos arqueológicos, especialmente objetos de adorno personal, cuentas de collar en rocas tenaces pulidas y las cuentas de arete en hueso. Siguiendo la tradicional división en edades, pese a ser achacados de historicistas, no dudamos afirmar que estamos ante un monumento funerario cuyo momento de uso debe situarse en un Calcolítico antiguo, precampaniforme.

Sus paralelos arqueológicos son numerosos como también son abundantes las dataciones por radiocarbono de monumentos funerarios similares. Entre otras: los portugueses de Abogalheira 1, donde un carbón aporta la fecha 4590+ 85BP y el de Carapito I, también un carbón se fecha en 4590+65 BP. Entre los burgaleses, en el de Las Arnillas, una muestra en huesos aportó una data de 4575+40BP y los riojanos como los de Kurtzebide (huesos del túmulo: 4445+95BP) y Peña Guerra II con datas que coinciden en parte de su uso con las manejadas para Sotoaldea. Algunas fechas de los dólmenes burgaleses de La Lora se refieren a momentos fundacionales, a los que deben corresponder los ajuares más antiguos con micro-litos geométricos (Fuentepecina I: 5290+40BP; El Moreco: 5150+60BP; La Mina: 5100BP+170BP...). La data de Las Arnillas confirma su uso a mediados del III milenio en fechas corregidas, concretamente en el 2625 a.C. (Delibes et alii, 1993: 42 y 58) lo que confirma la larga vida de algunas de estas construcciones. Más próximo físicamente se encuentra el de Longar (Viana, Navarra) con fechas contrastadas de diferentes laboratorios que señalan su construcción y uso entre 4589+90BP y 4480+50BP (Armendáriz & Irigaray 1993-1994: 271).

De los objetos recuperados en Sotoaldea, son los elementos de adorno personal los que tienen mayores paralelos con otros conjuntos funerarios, a falta de piezas de sílex características. Cuentas de arete o anulares se encuentran en el inmediato dolmen de Aizibita, del propio valle del Salado, en los dólmenes también navarros de Urbasa y Aralar y Sakulo. Son abundantes, por ejemplo, en el alavés de Gúrpide Sur (Barandiaran, 1962:357), donde su excavador contabilizó 31 completas y 65 fragmentos. Están también presentes en dólmenes meseteños como La Nava Alta o Las Arnillas (Delibes et alii, 1993:37 y 58). Su presencia en la meseta confirma aún mejor los contactos entre ambas regiones, puesto que se había supuesto que estas piezas eran "*especialidad de la zona vasco-navarra ya que no parecen habituales fuera de ella*" (López & Pérez, 1986:129).

En cuanto a las cuentas de piedra pulida son muy abundantes tanto en conjuntos funerarios del Valle del Ebro como en los del Duero. El gusto por rocas verdosas, como es bien sabido, está generalizado entre las sociedades del IV y III milenio.

Más desdibujada puede parecer la cerámica recuperada que se caracteriza por paredes preferentemente pulidas y cocciones reductoras. Sin embargo, el empleo de gruesos desgrasantes calizos, de color blanco que se hacen muy visibles sobre las superficies pulidas de color oscuro es frecuente en Navarra, tanto en ambientes de habitación al aire libre<sup>16</sup> como en covachos o abrigos rocosos<sup>17</sup>. Parece, dada la reiteración del modelo, un efecto buscado. No se ha constatado esta particularidad en el megalitismo regional, que, por otro lado, se precia de contener escasos restos cerámicos entre sus ajuares<sup>18</sup>.

La ausencia de materiales que suelen estar presentes en ocupaciones y reocupaciones de otros monumentos (puntas de flecha, campaniforme, objetos de cobre...) no es argumento sólido en un yacimiento como el que aquí se analiza por las circunstancias ya expuestas que concurren en la intervención en Sotoaldea.

## 7. VALORACIÓN

Como consecuencia de nuestra actuación en Sotoaldea se han obtenido, un total de 392 restos inventariados y siglados de diferente entidad. Se ha procedido a datar mediante C14 uno de los restos humanos y a su identificación que corresponde a un mínimo de cuatro individuos, dos adultos y dos niños. Además, con esta intervención, se ha constatado la presencia en la Zona Media de Navarra de una estructura tumular articulada con un complejo sistema de anillos en los que se alternó material de diferente etiología. Hasta donde ha permitido alcanzar la intervención, el monumento funerario es asimilable al fenómeno megalítico y parece aceptable que el túmulo pétreo encerrara en su interior una cámara mortuoria cuya tipología no ha podido determinarse.

Los materiales recuperados confirman el momento de uso aportado por la datación absoluta, a mediados del tercer milenio a. C., correspondiendo con el Calcolítico precampañiforme. La ubicación de este tipo de yacimiento en una terraza fluvial, cercana al cauce del río Arga, en cotas por debajo de los 400ms., también refuerza la excepcionalidad de la estructura estudiada. Una mayor definición de la misma sólo se alcanzaría con una intervención en extensión, levantando la totalidad del yacimiento.

### Notas:

1 Otras referencias geográficas para su localización son: Coordenadas Lambert X: 751.500; Y: 895. Según las coordenadas U.T.M. su situación es: Longitud: 595085; Latitud: 4722328; Otra cartografía disponible y manejada es: Hoja 173 (2-1) Mendigorriá, escala 1: 5.000 Gobierno de Navarra. Y la Hoja 173-III Larraga, escala 1: 25.000. Además se ha utilizado la Foto aérea del vuelo de DFN del año 1967, a escala aproximada de 18.000/20.000, localizándose la estructura tumular de Sotoaldea en el fotograma 95901.

2 En el XXVI Congreso Nacional de Arqueología (Zaragoza-Abril de 2001) y un breve informe preceptivo que ha visto la luz en Beguiristain et alii , 2002-2003: 5-13.

3 Un avance del proyecto se publicó en las Actas del IIº Congreso Nacional de Neolítico celebrado en Valencia: Beguiristain et alii, 1999: 435-438. También se ha defendido una Tesis doctoral, por parte de un miembro del equipo, que incluye un análisis y valoración de este yacimiento (Vélaz, 2003).

4 Y miembro del mencionado proyecto sobre megalitismo.

5 Participamos en esta visita: C. Albisu, M. A. Beguiristain, M<sup>a</sup> L. García, J. G. Gazólaz, J. Sesma, D. Vélaz y el niño Rubén Sesma García.

6 El permiso, extendido a nombre de Beguiristain y Vélaz, lleva fecha de 5-XII de 2000 y dispusimos de una subvención del Gobierno de Navarra de 456.826 pesetas.

7 Navarra dispone de excelentes pasadas aéreas desde antiguo lo que nos ha permitido, con la ayuda de la Profesora del Departamento de Geografía M<sup>a</sup> Ángeles Lizarraga, especialista en fotointerpretación, consultar diferentes vuelos y escalas. Agradecemos desde aquí su inestimable ayuda.

8 En consecuencia, las profundidades (z) de los restos recuperados, tienen cota (+) en el inventario, no (-) como

suele ser lo habitual.

9 Los materiales han recibido la sigla correspondiente siguiendo las pautas que rigen el Inventario Arqueológico del Museo de Navarra (Las letras iniciales [MA] corresponden al término municipal de Mañeru. El primer dígito [7] es el nº que al yacimiento de Sotoaldea le corresponde en ese municipio. Los siguientes dígitos, separados por un punto [.] son del número de orden que le corresponde al objeto dentro del propio yacimiento). Un inventario detallado, de uso propio, recoge las otras señas de identidad de cada objeto (Cuadro, coordenadas, fecha, observaciones...). Al final del artículo se incluye una TABLA con una descripción somera de cada pieza ordenada por sigla.

10 Tal vez este suelo de cantos rodados explique la excelente conservación de las escasas cuentas de hueso recuperadas de esta zona, en contraste con el deficiente estado de las cuentas de este mismo material recuperadas en el próximo dolmen de Aizibita, que, teóricamente, deberían haberse conservado mejor al estar en una zona más árida (Beguiristain y Vélaz: 1998).

11 Agradecemos al Dr. José Luis Beguiristain, del Departamento de Cirugía Ortopédica y Traumatología de la Clínica Universitaria de Navarra, sus observaciones acerca de estos restos.

12 El diagnóstico lo ha realizado la Dra. Carmen Escala, Directora del Departamento de Zoología y Ecología de la Universidad de Navarra a quien agradecemos su generosa colaboración.

13 Para la descripción tecnomorfológica se utiliza la terminología analítica de Laplace en cualquiera de sus versiones (p.e. 1972) y para la asignación tipológica la de J. Fortea, 1973.

14 También el túmulo-dolmen de Kurtzebide (Álava) se ubica en una terraza del Bayas, pero en un paraje más montañoso.

15 Tesis doctoral inédita de David Vélaz Ciáurriz.

16 La Facería es un campo de hoyos conservados en gravera, reflejo de un habitat del Calcolítico al aire libre, en la Cuenca de Pamplona. Se dispone de una fecha de C14 publicada del hoyo 4: GrN-21301: 4090 + 180BP que no desdice de la época de uso de Sotoaldea (García y Sesma, 1995/96: 293 y en Castiella et alii, 1999\*\*: 171).

17 Nivel b de La Peña (Marañón) según Cava y Beguiristain, 1991-1992: 109. La base de este nivel dio una fecha de 4350+80BP y el tramo superior 2840+70BP, aunque en el análisis cerámico, por lo reducido de la muestra, se estudió el lote en conjunto, destacando en algunos fragmentos sus gruesos desgrasantes bien visibles.

18 A este respecto ya llamó la atención J. M. de Barandiaran sobre la preferencia entre los pastores de montaña, aún en época histórica, por las vasijas de madera, menos quebradizas y que supone aprovechamiento de materiales abundantes en la zona. La presencia de cuentas de collar en este material en Aralar y Urbasa testimonian el gusto por tan económica materia prima.

## BIBLIOGRAFÍA

- ANDRÉS, T. (1977a): *Las estructuras funerarias del Neolítico y Eneolítico en la Cuenca Media del Ebro. Consideraciones críticas*. Príncipe de Viana 146-147: 65-129. Pamplona.
- ANDRÉS, T. (1977b): *Los sepulcros megalíticos de Artajona*. Príncipe de Viana 148-149: 403-422. Pamplona.
- ARMENDÁRIZ, J. & IRIGARAY, S. (1993-1994): *Resumen de las excavaciones arqueológicas en el hipogeo de Longar (Viana, Navarra) 1991-1993*. Trabajos de Arqueología Navarra 11: 270-285. Pamplona.
- BARANDIARÁN, J. M. (1949): *Crónica de Prehistoria. Alduides (Ikuska. Sare 3 n° 1)*. Obras Completas XII. La Gran Enciclopedia Vasca. Bilbao. 367-374.
- BARANDIARÁN, J. M. (1962): *El dolmen de Gúrpide S. (Catadiano- Alava)* (publicado en: Noticiario Arqueológico Hispánico. MEN. DGBA V 1956-1961. Madrid). Obras Completas XV. La Gran Enciclopedia Vasca. Bilbao. 347-358.
- BARANDIARÁN, I. & VALLESPÍ, E. (1980): *Prehistoria de Navarra*. Trabajos de Arqueología Navarra 2: 1-241. Pamplona.
- BEGUIRISTAIN, M<sup>a</sup> A. (1976): *Excavación en el dolmen de Miruatza, Echarri-Aranaz (Navarra)*. Príncipe de Viana 144-145, pp. 365-374. Pamplona.
- BEGUIRISTAIN, M<sup>a</sup> A. (1995-1996): *Dolmen de Aizibita (Cirauqui, Navarra). Campañas de 1994 y 1995*. Trabajos de Arqueología de Navarra 12: 283-288. Pamplona.
- BEGUIRISTAIN, M<sup>a</sup> A.; ANDRÉS, M<sup>a</sup> T.; GARCÍA, M<sup>a</sup> L.; SESMA, J.; GARCÍA GAZÓLAZ y VÉLAZ, D. (1999): *Acerca del Megalitismo en Navarra: el inicio de un proyecto de investigación*. Saguntum-PLAV, Extra 2 (II Congrès del Neolitic a la Península Ibèrica. Valencia 1999) : 435-438.
- BEGUIRISTAIN, M<sup>a</sup> A.; VÉLAZ, D. (1998): *Objetos de adorno personal en el dolmen de Aizibita (Cirauqui, Navarra)*. Cuadernos de Arqueología de la Universidad de Navarra 6: 7-31. Pamplona.
- BEGUIRISTAIN, M<sup>a</sup> A.; VÉLAZ, D.; UNANUA, R. & ÁLVAREZ, E. (2002-2003): *Una estructura megalítica en la cuenca del Arga. El yacimiento de Sotaldea (Mañeru, Navarra)*. Trabajos de Arqueología Navarra, 16: 5-13. Pamplona.
- CARTOGRAFÍA. Fotograma 95901 del vuelo de Diputación Foral de Navarra del año 1967. Escala aprox. 18.000/20.000.
- CARTOGRAFÍA. Mapa 173 (2-1) Mendigorriá. Gobierno de Navarra. Escala 1: 5.000.
- CARTOGRAFÍA. Mapa 173-III Larraga, del Instituto Geográfico Nacional. Escala 1: 25.000.
- CARTOGRAFÍA. Hoja 173- Tafalla, del Mapa Topográfico Nacional a escala 1: 50.000.

- CASTIELLA, A.; SESMA, J.; GARCÍA GARCÍA, M<sup>a</sup> L.; GARCÍA GAZÓLAZ, J.; PRIETO, J.J.; FARO, J. A. Y GARCÍA JAURRIETA, D.(1999): *Campo de Hoyos de la Facería (Campanas)*, Cuadernos de Arqueología de la Universidad de Navarra 7<sup>\*\*</sup>:161-179. Pamplona.
- CAVA, A. & BEGUIRISTAIN, M<sup>a</sup> A. (1991-1992): *El yacimiento prehistórico del abrigo de la Peña (Marañón, Navarra)*. Trabajos de Arqueología Navarra 10:69-166. Pamplona.
- DELIBES, G.; ROJO, M. & REPRESA, J. I. (1993): *Dólmenes de l Lora, Burgos. Guía arqueológica*. Junta de Castilla y León.
- ENRÍQUEZ, J.J. (1982): *Los objetos de Adorno personal de la Prehistoria de Navarra*. Trabajos de Arqueología Navarra 3: 157-202. Pamplona.
- FLORISTÁN, A. (1972): *Regiones comarcales de Navarra*. En José Manuel Casas Torres (1944-1969) Homenaje a una labor: 135-140, Zaragoza.
- FORTEA, J. (1973) *Los complejos microlaminares y geométricos del Epipaleolítico mediterráneo español*. Memorias del Seminario de Prehistoria y Arqueología 4. Salamanca.
- LAPLACE, G.(1971): *De l'application des coordonnées cartésiennes à la fouille stratigraphique*. Munibe 23: 223-236.
- LAPLACE, G.(1972): *La Typologie Analytique et structurale: Base rationnell d'étude des industries lithiques et osseuses*. Col. Nationaux du CNRS n° 932: Banques de Données Archéologiques. Marseille: 91-143.
- MALUQUER DE MOTES, J. (1955): *Prospecciones arqueológicas en término de Navascués*. Príncipe de Viana 60: 285-304. Pamplona.
- MALUQUER DE MOTES, J. (1963): *Notas sobre la cultura megalítica navarra*. Príncipe de Viana 92-93: 93-147. Pamplona.
- PÉREZ ARRONDO, C. & LÓPEZ DE CALLE, C. (1986): *Aportaciones al estudio de las culturas eneolíticas en el Valle del Ebro. I: Elementos de adorno*. Historia 3. Logroño.
- REDFREN, S.; G. LYONS, G. & REDFREN, R.M. (1999): *Digital elevation modelling of individual monuments from aerial photographs*. Archaeological Prospection 6: 211-224.
- VEGAS ARAMBURU, J.I. (1981): *Túmulo-dolmen de Kurtzebide en Letona. Memoria de Excavación*. Estudios de Arqueología Alavesa 10: 19-66. Vitoria.
- VÉLAZ CIAURRIZ, D. (2003): *El megalitismo en el Valle del Salado (Navarra): un estudio territorial desde los Sistemas de Información Geográfica*. Tesis doctoral defendida en la Universidad de Navarra (inérita).
- SESMA, SESMA, J. y GARCÍA GAZÓLAZ, J. (1995-96): *Excavación de urgencia en los yacimientos de depósito en hoyos de Aparrea (Biurrun) y la Facería (Tiebas)*. Trabajos de Arqueología Navarra 12: 293-297. Pamplona.

**INVENTARIO DE LOS RESTOS PROCEDENTES DE SOTOALDEA (MAÑERU. NAVARRA)**

| Sigla y n.º de inventario | Cuadro     | Tipo de restos | Descripción  |
|---------------------------|------------|----------------|--|
| MA.7.1<br>(26-12-00)      | Superficie | Sílex          | Perforador desviado por muesca inversa opuesta a faceta con huellas de uso, sílex blanco, talón liso, modo 3. (Fig. ) [P1].  |
| MA.7.2                    | Superficie | Sílex          | Diente de hoz sobre frag. medial de lámina rota, sílex blanco, con pátina de uso y borde opuesto romo (Fig. ) [D7].  |
| MA.7.3                    | Superficie | Sílex          | Lasca denticulada, sílex marrón, modo 2 (Fig. ) [MD1].   |
| MA.7.4                    | Superficie | Sílex          | Lasca, talón liso, con retoque S lat sen inverso, sílex blanco, modo 3 (Fig. ).  |
| MA.7.5                    | Superficie | Sílex          | Pequeño resto nucleiforme, sílex blanco.   |
| MA.7.6                    | Superficie | Sílex          | Lámina con retoque S (SE) pd lat sen+Spd+S (SE), con fuerte costra calcárea, modo 3. [Dudoso R9 o D2]. (Fig. ).  |
| MA.7.7                    | Superficie | Sílex          | Frag. lámina o laminita, sílex blanco, modo 3.   |
| MA.7.8                    | Superficie | Sílex          | Lasca reflejada, talón liso y fractura axial, sílex gris oscuro, modo 2.   |
| MA.7.9                    | Superficie | Cerámica       | Frag. de pared de cerámica manufacturada, marrón, c. mixta. Grosor 11 mm. Bronce genérico.   |
| MA.7.10                   | Superficie | Cerámica       | Frag. de pared de cerámica manufacturada, c. mixta, color interior y pasta negro, exterior marrón rojizo con gruesos desgrasantes minerales. Grosor 10 mm.                   |
| MA.7.11                   | Superficie | Cerámica       | Frag. de pared de cerámica manufacturada, c. mixta, pasta color marrón. Grosor 7 mm.   |
| MA.7.12                   | Superficie | Cerámica       | Frag. de pared de cerámica manufacturada, c. mixta, pasta color rojizo ext. Y negro al interior. Grosor 7 mm.  |
| MA.7.13                   | Superficie | Cerámica       | Frag. de pared de cerámica torneada, pasta color beige.  |
| MA.7.14                   | Superficie | Óseo           | Canino humano adulto, con abrasión moderada y sano.  |
| MA.7.15                   | 5A         | Fauna          | Epífisis de fémur.   |
| MA.7.16                   | 5A         | Fauna          | Cintura pelviana de lagomorfo ( <i>Lepus</i> ¿?, <i>Oryctolagus</i> ¿?).   |
| MA.7.17                   | 5A         | Fauna          | Fragmento craneal (maxilar) de lagomorfo.  |
| MA.7.18                   | 5A         | Fauna          | Fragmento craneal de lagomorfo.  |
| MA.7.19                   | 5A         | Fauna          | Húmero de lagomorfo.   |
| MA.7.20                   | 5A         | Fauna          | Fragmento de diáfisis afectado por microorganismos.  |
| MA.7.21                   | 5A         | Fauna          | Hueso completo de lagomorfo.   |
| MA.7.22                   | 7A         | Cerámica       | Frag. pared pulida de cerámica manufacturada, c. reductora, color negro, pasta con gruesos desgrasantes minerales. Grosor 5 mm.  |
| MA.7.23                   | 1A         | Sílex          | Lasquita durmiente, sílex blanco, con microdenticulación, modo 3.  |
| MA.7.24                   | 13A        | Cerámica       | Frag. de pared (hacia el borde) de cerámica manufacturada, c. oxidante, color de pasta anaranjado, con desgrasantes minerales de tamaño mediano y color blanco. Grosor 8 mm. |
| MA.7.25                   | 1A         | Óseo humano    | Trocante mayor de fémur, de niño o joven de 12 a 14 años.  |
| MA.7.26                   | 9A         | Óseo           | Esquirla ósea no identificable.  |
| MA.7.27                   | 9A         | Fauna          | Esquirla de diente.  |



## MEMORIA DE LA INTERVENCIÓN ARQUEOLÓGICA EN LA ESTRUCTURA TUMULAR...

|         |       |           |  |
|---------|-------|-----------|--|
| MA.7.28 | 5A    | Fauna     | Tibia de conejo o liebre Orden: Lagomorfos, Fam.: Leporidae.   |
| MA.7.29 | 5A    | Fauna     | Fémur de conejo o liebre Orden: Lagomorfos, Fam.: Leporidae.   |
| MA.7.30 | 3A-5A | Óseo hum. | Cuerpo vertebral de niño de menos de 7-8 años.   |
| MA.7.31 | 3A-5A | Óseo hum. | Apófisis articular, vértebra humana.   |
| MA.7.32 | 3A-5A | Óseo hum. | Apófisis articular, vértebra humana.   |
| MA.7.33 | 3A-5A | Óseo hum. | Fragmento de vértebra.   |
| MA.7.34 | 3A-5A | Fauna     | Fragmento óseo.  |
| MA.7.35 | 1A    | Fauna     | Fragmento de fémur de conejo o liebre.   |
| MA.7.36 | 1A    | Fauna     | Húmero de liebre o conejo.   |
| MA.7.37 | 1A    | Fauna     | Fragmento epífisis, tibia de conejo o liebre.  |
| MA.7.38 | 1A    | Fauna     | Fragmento de maxilar de liebre o conejo con pérdida dentaria post mortem y dos piezas en sus alvéolos.   |
| MA.7.39 | 1A    | Fauna     | Hueso completo ¿falange de ovis?   |
| MA.7.40 | 1A    | Fauna     | Cintura pelviana de lagomorfo, liebre o conejo.  |
| MA.7.41 | 1A    | Fauna     | Fragmento de epífisis de fémur de lagomorfo.   |
| MA.7.42 | 1A    | Fauna     | Fragmento de cintura pelviana de lagomorfo, liebre o conejo.   |
| MA.7.43 | 1A    | Fauna     | Fragmento de tibia lagomorfo (pega con el nº 49).  |
| MA.7.44 | 1A    | Fauna     | Fragmento de epífisis fémur de lagomorfo.  |
| MA.7.45 | 1A    | Fauna     | Fragmento de húmero de lagomorfo.  |
| MA.7.46 | 1A    | Fauna     | Fragmento de epífisis.   |
| MA.7.47 | 1A    | Fauna     | Fragmento de epífisis de hueso identificable de liebre o conejo.   |
| MA.7.48 | 1A    | Fauna     | Fragmento de hueso identificable liebre o conejo.  |
| MA.7.49 | 1A    | Fauna     | Fragmento de epífisis de tibia (pega con el nº 43).  |
| MA.7.50 | 1A    | Fauna     | Fragmento de cráneo de lagomorfo.  |
| MA.7.51 | 1A    | Fauna     | Fragmento de epífisis.   |
| MA.7.52 | 1A    | Fauna     | Fragmento de diente de lagomorfo (liebre o conejo).  |
| MA.7.53 | 1A    | Fauna     | Fragmento de diente de lagomorfo (liebre o conejo).  |
| MA.7.54 | 1A    | Fauna     | Fragmento de diente de lagomorfo (liebre o conejo).  |
| MA.7.55 | 1A    | Fauna     | Fragmento de diente de lagomorfo (liebre o conejo).  |
| MA.7.56 | 1A    | Fauna     | Fragmento de diente de lagomorfo (liebre o conejo).  |
| MA.7.57 | 1A    | Fauna     | Fragmento de cráneo de lagomorfo (liebre o conejo).  |
| MA.7.58 | 1A    | Óseo      | Esquirla de cráneo de lagomorfo (liebre o conejo).   |
| MA.7.59 | 1A    | Óseo      | Esquirla de cráneo de lagomorfo (liebre o conejo).   |
| MA.7.60 | 1A    | Óseo      | Esquirla no identificable.   |
| MA.7.61 | 1A    | Óseo      | Esquirla de cráneo de lagomorfo (liebre o conejo).   |
| MA.7.62 | 1A    | Óseo      | Esquirla no identificable.   |
| MA.7.63 | 1A    | Fauna     | Fragmento de cráneo de lagomorfo (liebre o conejo).  |
| MA.7.64 | 1A    | Fauna     | Fragmento de cráneo de lagomorfo (liebre o conejo).  |
| MA.7.65 | 1A    | Fauna     | Fragmento de cráneo de lagomorfo (liebre o conejo).  |
| MA.7.66 | 1A    | Fauna     | Fragmento de cráneo de lagomorfo (liebre o conejo).  |
| MA.7.67 | 1A    | Fauna     | Fragmento de cráneo de lagomorfo (liebre o conejo).  |
| MA.7.68 | 1A    | Fauna     | Fragmento de cráneo de lagomorfo (liebre o conejo).  |
| MA.7.69 | 9A    | Cerámica  | Frag. de pared pulida de cerámica manufacturada, c. reductora, pasta color marrón con desgrasantes minerales medios de color blanco. Grosor 5 mm.                            |
| MA.7.70 | 7A    | Cerámica  | Frag. de pared de cerámica manufacturada, c. mixta, pasta color rojizo en el exterior y negro en el interior con desgrasantes minerales medios de color blanco. Grosor 7 mm. |

|         |    |          |  |
|---------|----|----------|--|
| MA.7.71 | 7A | Cerámica | Frag. de pared pulida de cerámica manufacturada, c. mixta, pasta color marrón en el exterior y negro en el interior con desgrasantes minerales gruesos de color blanco. Grosor 6 mm.                                   |
| MA.7.72 | 7A | Cerámica | Frag. mínimo de pared de cerámica manufacturada, c. reductora, pasta color negro.  |
| MA.7.73 | 9A | Cerámica | Frag. de pared de cerámica manufacturada, c. mixta, pasta color rojizo al exterior y negro en el interior con desgrasantes minerales medios de color blanco. Grosor 6 mm.  |
| MA.7.74 | 9A | Cerámica | Frag. de borde exvasado, de vasija manufacturada, c. reductora, color negro con gruesos desgrasantes minerales de color blanco. Grosor 6-8 mm. Diámetro boca 18 cm.  |
| MA.7.75 | 7A | Cerámica | Frag. de pared pulida de cerámica manufacturada, c. reductora, pasta color marrón con desgrasantes minerales gruesos de color blanco. Grosor 6 mm.   |
| MA.7.76 | 7A | Cerámica | Frag. de pared pulida de cerámica manufacturada, c. reductora, pasta color marrón exterior y negra al interior, con desgrasantes minerales gruesos de color blanco. Casa con los n <sup>o</sup> 78 y 79.               |
| MA.7.77 | 7A | Cerámica | Frag. de pared pulida de cerámica manufacturada, c. reductora, pasta color marrón con desgrasantes minerales gruesos de color blanco. Grosor 5 mm.   |
| MA.7.78 | 7A | Cerámica | Frag. de pared pulida de cerámica manufacturada, c. reductora, pasta color rojizo al exterior y negro al interior, con desgrasantes minerales gruesos de color blanco. Grosor 5,5 mm. Casa con n <sup>o</sup> 76 y 79. |
| MA.7.79 | 7A | Cerámica | Frag. de pared pulida de cerámica manufacturada, c. reductora, pasta color marrón al exterior y negro al interior, con desgrasantes minerales gruesos de color blanco. Casa con n <sup>o</sup> 76 y 78.                |
| MA.7.80 | 7A | Cerámica | Frag. de pared pulida de cerámica manufacturada, c. reductora, color negro, con desgrasantes minerales gruesos de color blanco. Grosor 5 mm.   |
| MA.7.81 | 7A | Cerámica | Frag. de pared pulida de cerámica manufacturada, c. reductora, color negro, con desgrasantes minerales gruesos de color blanco.  |
| MA.7.82 | 7A | Cerámica | Frag. de pared pulida de cerámica manufacturada, c. reductora, color negro, con desgrasantes minerales gruesos de color blanco. Casa con el n <sup>o</sup> 84.   |
| MA.7.83 | 7A | Cerámica | Frag. de pared pulida de cerámica manufacturada, c. reductora, color negro, con desgrasantes minerales gruesos de color blanco.  |
| MA.7.84 | 7A | Cerámica | Frag. de pared pulida de cerámica manufacturada, c. reductora, color negro, con desgrasantes minerales gruesos de color blanco.  |
| MA.7.85 | 7A | Cerámica | Frag. de pared pulida de cerámica manufacturada, c. mixta, pasta color rojizo al exterior y marrón en el interior con desgrasantes minerales gruesos de color blanco.  |
| MA.7.86 | 7A | Óseo     | Fragmento de hueso largo.  |
| MA.7.87 | 7A | Sílex    | Fragmento de lasca de sílex gris, modo 3. [D1].  |

|          |            |          |  |
|----------|------------|----------|--|
| MA.7.88  | Superficie | Cerámica | Frag. pared de cerámica a torno, vidriada, color anaranjado.   |
| MA.7.89  | Superficie | Sílex    | Frag. de lasca de sílex blanco rosáceo, talón facetado, modo 3.  |
| MA.7.90  | 7A         | Cerámica | Frag. de pared pulida de cerámica manufacturada, c. reductora, pasta color negro con desgrasantes minerales gruesos de color blanco. Grosor 5 mm.                                |
| MA.7.91  | 9A         | Óseo     | Fragmento de diáfisis.   |
| MA.7.92  | 9A         | Óseo     | Esquirla ósea.   |
| MA.7.93  | 9A         | Óseo     | Esquirla ósea.   |
| MA.7.94  | 9A         | Óseo     | Esquirla ósea.   |
| MA.7.95  | 9A         | Óseo     | Esquirla ósea.   |
| MA.7.96  | 9A         | Cerámica | Frag. de pared pulida de cerámica manufacturada, c. mixta, pasta color rojizo al exterior y negro el interior con desgrasantes minerales gruesos de color blanco. Grosor 7 mm.   |
| MA.7.97  | 9A         | Cerámica | Frag. de pared pulida de cerámica manufacturada, c. reductora, pasta color negro con desgrasantes minerales gruesos de color blanco. Grosor 6 mm.                                |
| MA.7.98  | 2A         | Óseo     | Cuenta discoidea plana. Diám. externo 11 mm; diám. interno 5 mm.   |
| MA.7.99  | 9A         | Cerámica | Frag. de pared pulida de cerámica manufacturada, c. reductora, pasta color marrón al exterior e interior negro, con desgrasantes minerales gruesos de color blanco. Grosor 6 mm. |
| MA.7.100 | 2A         | Óseo     | Fragmento de cuenta discoidea plana (conserva en una de las caras restos de la estructura esponjosa del hueso).  |
| MA.7.101 | 2A-1A      | Óseo     | Cuenta discoidea plana. Diám. externo 11-12 mm; interno 6 mm/espesor 1 mm.   |
| MA.7.102 | 2A-1A      | Óseo     | Cuenta discoidea plana. Diám. externo 12 mm; interno 7 mm/espesor 2 mm.  |
| MA.7.103 | 2A-1A      | Óseo     | Cuenta discoidea plana. Diám. externo 12 mm; interno 6 mm/espesor 2 mm.  |
| MA.7.104 | 2A-1A      | Óseo     | Cuenta discoidea plana. Diám. externo 12 mm; interno 7 mm/rota y encolada; espesor 1 mm.   |
| MA.7.105 | 2A-1A      | Óseo     | Cuenta discoidea plana. Diám. externo 12 mm; interno 7 mm/espesor 1 mm.  |
| MA.7.106 | Superficie | Óseo     | Vértebra cervical inferior.  |
| MA.7.107 | Superficie | Óseo     | Frag. de vértebra cervical inferior (apófisis articular).  |
| MA.7.108 | Superficie | Óseo     | Frag. de vértebra cervical inferior (apófisis articular).  |
| MA.7.109 | Superficie | Óseo     | Frag. de vértebra.   |
| MA.7.110 | Superficie | Óseo     | Fragmento de omoplato izquierdo.   |
| MA.7.111 | Superficie | Óseo     | Epífisis de peroné.  |
| MA.7.112 | Superficie | Óseo     | Fragmento de epífisis de húmero.   |
| MA.7.113 | Superficie | Óseo     | Epífisis.  |
| MA.7.114 | Superficie | Óseo     | Frag. de cabeza de fémur.  |
| MA.7.115 | Superficie | Óseo     | Esquirla de costilla.  |
| MA.7.116 | Superficie | Óseo     | Esquirla de costilla.  |
| MA.7.117 | Superficie | Óseo     | Esquirla de costilla.  |
| MA.7.118 | Superficie | Óseo     | Esquirla de costilla.  |
| MA.7.119 | Superficie | Óseo     | Esquirla de costilla.  |
| MA.7.120 | Superficie | Óseo     | Esquirla de epífisis.  |
| MA.7.121 | Superficie | Óseo     | Esquirla de epífisis.  |

|          |            |          |  |
|----------|------------|----------|--|
| MA.7.122 | Superficie | Óseo     | Esquirla de epífisis.  |
| MA.7.123 | Superficie | Óseo     | Esquirla de diáfisis.  |
| MA.7.124 | Superficie | Óseo     | Esquirla de diáfisis.  |
| MA.7.125 | Superficie | Óseo     | Esquirla de óseas.   |
| MA.7.126 | Superficie | Óseo     | Esquirla de óseas.   |
| MA.7.127 | Superficie | Óseo     | Esquirla de óseas.   |
| MA.7.128 | Superficie | Óseo     | Falange.   |
| MA.7.129 | Superficie | Óseo     | Premolar o bicúspide.  |
| MA.7.130 | Superficie | Óseo     | Frag. de epífisis de húmero.   |
| MA.7.131 | Superficie | Cerámica | Frag. de pared de cerámica de cocina, con vedrío interior plumbífero.  |
| MA.7.132 | Superficie | Cerámica | Frag. de teja.   |
| MA.7.133 | 7A         | Cerámica | Frag. de pared pulida de cerámica manufacturada, c. reductora, pasta color marrón al exterior e interior negro, con desgrasantes minerales gruesos de color blanco. Grosor 6 mm. |
| MA.7.134 | 7A         | Cerámica | Frag. de pared pulida de cerámica manufacturada, c. reductora, pasta color marrón al exterior e interior negro, con desgrasantes minerales gruesos de color blanco. Grosor 6 mm. |
| MA.7.135 | 7A         | Cerámica | Frag. de pared pulida de cerámica manufacturada, c. reductora, pasta color marrón al exterior e interior negro, con desgrasantes minerales gruesos de color blanco. Grosor 7 mm. |
| MA.7.136 | 7A         | Cerámica | Frag. de pared pulida de cerámica manufacturada, c. reductora, pasta color marrón al exterior e interior negro, con desgrasantes minerales gruesos de color blanco. Grosor 6 mm. |
| MA.7.137 | 7A         | Cerámica | Frag. de pared pulida de cerámica manufacturada, c. reductora, pasta color negro. Grosor 6 mm.   |
| MA.7.138 | 7A         | Cerámica | Frag. de pared pulida de cerámica manufacturada, c. reductora, pasta color marrón al exterior e interior negro, con desgrasantes minerales gruesos de color blanco. Grosor 6 mm. |
| MA.7.139 | 7A         | Cerámica | Frag. de pared pulida de cerámica manufacturada, c. reductora, pasta color marrón al exterior e interior negro, con desgrasantes minerales gruesos de color blanco. 7 mm.        |
| MA.7.140 | 7A         | Cerámica | Frag. (externo) de pared pulida de cerámica manufacturada, c. reductora, pasta color marrón al exterior e interior negro, con desgrasantes minerales gruesos de color blanco.    |
| MA.7.141 | 7A         | Cerámica | Frag. de pared pulida de cerámica manufacturada, c. reductora, pasta color marrón al exterior e interior negro, con desgrasantes minerales gruesos de color blanco. Grosor 6 mm. |
| MA.7.142 | 7A         | Cerámica | Frag. de pared pulida de cerámica manufacturada, c. reductora, pasta color marrón al exterior e interior negro, con desgrasantes minerales gruesos de color blanco. Grosor 7 mm. |
| MA.7.143 | 7A         | Cerámica | Frag. de pared pulida de cerámica manufacturada, c. reductora, pasta color marrón al exterior e interior negro, con desgrasantes minerales gruesos de color blanco. Grosor 6 mm. |

|          |    |          |  |
|----------|----|----------|--|
| MA.7.144 | 7A | Cerámica | Frag. de pared pulida de cerámica manufacturada, c. reductora, pasta color negro, con desgrasantes minerales gruesos de color blanco. Grosor 6 mm.                               |
| MA.7.145 | 7A | Cerámica | Frag. de pared pulida de cerámica manufacturada, c. reductora, pasta color negro, con desgrasantes minerales gruesos de color blanco. Grosor 8 mm.                               |
| MA.7.146 | 7A | Óseo     | Esquirlas óseas no identificables.   |
| MA.7.147 | 7A | Óseo     | Esquirlas óseas no identificables.   |
| MA.7.148 | 2A | Óseo     | Vértebra humana: 1ª dorsal, con apófisis espinosa bífida.  |
| MA.7.149 | 7A | Cerámica | Frag. de pared pulida de cerámica manufacturada, c. reductora, pasta color marrón al exterior e interior negro, con desgrasantes minerales gruesos de color blanco. Grosor 6 mm. |
| MA.7.150 | 7A | Cerámica | Frag. de pared pulida de cerámica manufacturada, c. reductora, pasta color marrón al exterior e interior negro, con desgrasantes minerales gruesos de color blanco. Grosor 6 mm. |
| MA.7.151 | 7A | Cerámica | Frag. de pared pulida de cerámica manufacturada, c. reductora, pasta color marrón al exterior e interior negro, con desgrasantes minerales gruesos de color blanco. Grosor 6 mm. |
| MA.7.152 | 7A | Cerámica | Frag. de pared pulida de cerámica manufacturada, c. reductora, pasta color negro, con desgrasantes minerales gruesos de color blanco. Grosor 7 mm.                               |
| MA.7.153 | 2A | Óseo     | Falange humana.  |
| MA.7.154 | 2A | Óseo     | Cuenta discoidea plana. Diám. externo 11-10 mm; interno 5 mm.  |
| MA.7.155 | 2A | Óseo     | Cuenta discoidea plana. Diám. externo 11-10 mm; interno 6 mm.  |
| MA.7.156 | 2A | Óseo     | Cuenta discoidea plana. Diám. externo 11-9 mm; interno 5 mm.   |
| MA.7.157 | 2A | Óseo     | Cuenta discoidea plana. Diám. externo 13 mm; interno 8 mm.   |
| MA.7.158 | 2A | Óseo     | Cuenta discoidea plana. Diám. externo 12 mm; interno 7 mm.   |
| MA.7.159 | 2A | Óseo     | Cuenta discoidea plana, rota en dos partes. Diám. externo 10 mm; interno 6 mm.   |
| MA.7.160 | 2A | Óseo     | Frag. de cuenta discoidea plana de hueso. Diám. externo 13-12 mm; interno 7-8 mm.  |
| MA.7.161 | 2A | Óseo     | Frag. de cuenta discoidea plana de hueso.  |
| MA.7.162 | 2A | Óseo     | Falange humana (junto a las cuentas anteriores).   |
| MA.7.163 | 2A | Óseo     | “Cuña” de pie humano.  |
| MA.7.164 | 2A | Cerámica | Frag. de cerámica a torno, color rojizo. Grosor 9 mm (comienzo de excavación. Intrusión).  |
| MA.7.165 | 2A | Óseo     | Cuenta discoidea plana. Diám. externo 14 mm; interno 8-6 mm/espesor 2 mm.  |
| MA.7.166 | 2A | Óseo     | Cuenta discoidea plana. Diám. externo 13-12 mm; interno 7-6 mm/espesor 2 mm.   |
| MA.7.167 | 2A | Óseo     | Cuenta discoidea plana (en dos trozos). Diám. externo 12 mm; interno 7 mm/espesor 2 mm.  |
| MA.7.168 | 2A | Óseo     | Cuenta discoidea plana. Diám. externo 12 mm; interno 6 mm/espesor 2 mm.  |



|          |            |                    |   |
|----------|------------|--------------------|---|
| MA.7.169 | 2A         | Óseo               | Cuenta discoidea plana. Diám. externo 12-10 mm; interno 6 mm/espesor 1 mm.  |
| MA.7.170 | 2A         | Óseo               | Cuenta discoidea plana. Diám. externo 12 mm; interno 7-6 mm/espesor 1 mm.   |
| MA.7.171 | 2A         | Óseo               | Cuenta discoidea plana. Diám. externo 11-10 mm; interno 6 mm/espesor 1 mm.  |
| MA.7.172 | 2A         | Óseo               | Cuenta discoidea plana. Diám. externo 12 mm; interno 6 mm/espesor 1,5 mm.   |
| MA.7.173 | 2A         | Óseo               | Cuenta discoidea plana. Diám. externo 12 mm; interno 7 mm/espesor 2 mm.   |
| MA.7.174 | 2A         | Óseo               | Cuenta disc. plana (rota 3 partes). Diám. externo 14, interno 9 mm.   |
| MA.7.175 | 2A         | Óseo               | Frag. de cuenta discoidea plana de hueso.   |
| MA.7.176 | 2A         | Óseo               | Frag. de cuenta discoidea plana de hueso.   |
| MA.7.177 | 2A         | Óseo               | Frag. de cuenta discoidea plana de hueso.   |
| MA.7.178 | 2A         | Óseo               | Frag. de cuenta discoidea plana de hueso.   |
| MA.7.179 | 2A         | Óseo               | Frag. de cuenta discoidea plana de hueso.   |
| MA.7.180 | 2A         | Óseo               | Frag. de cuenta discoidea plana de hueso.   |
| MA.7.181 | 2A         | Óseo               | Frag. de cuenta discoidea plana de hueso.   |
| MA.7.182 | 2A         | Óseo               | Frag. de cuenta discoidea plana de hueso.   |
| MA.7.183 | 2A         | Óseo               | Frag. de cuenta discoidea plana de hueso.   |
| MA.7.184 | 2A         | Óseo               | Frag. de cuenta discoidea plana de hueso.   |
| MA.7.185 | 2A         | Óseo               | Frag. de cuenta discoidea plana de hueso.   |
| MA.7.186 | 2A         | Óseo               | Frag. de cuenta discoidea plana de hueso.   |
| MA.7.187 | 2A         | Óseo               | Frag. de cuenta discoidea plana de hueso.   |
| MA.7.188 | 2A         | Óseo               | Frag. de cuenta discoidea plana de hueso.   |
| MA.7.189 | 2A         | Óseo               | Frag. de cuenta discoidea plana de hueso.   |
| MA.7.190 | 2A         | Óseo               | Frag. de cuenta discoidea plana de hueso.   |
| MA.7.191 | 2A         | Óseo               | Frag. de cuenta discoidea plana de hueso.   |
| MA.7.192 | 2A         | Óseo               | Frag. de cuenta discoidea plana de hueso.   |
| MA.7.193 | 2A         | Óseo               | Frag. de cuenta discoidea plana de hueso.   |
| MA.7.194 | 2A         | Pétreo pulimentado | Cuenta tipo tonelete irregular o cilíndrica en piedra negra-grisácea, sección subcircular con una de sus superficies plana. Mide: L: 21 mm; a: 19 mm; e: 15 mm; peso: 8.4 g. Perforación bitroncocónica, diámetro interno de la perforación: 7x6 mm.  |
| MA.7.195 | 2A         | Pétreo pulimentado | Cuenta tipo tonelete o de sección longitudinal biconvexa elaborada en roca verde de color no homogéneo, bien pulida y con perforación bitroncocónica desviada. Mide: L: 27; a: 22 y e: 22 mm. Diámetro de la perforación 9x9 mm. Peso: 14.6 g.  |
| MA.7.196 | 2A         | Pétreo pulimentado | Cuenta tipo tonelete o de sección longitudinal biconvexa elaborada en piedra negra-grisácea. Mide: L: 16 mm; anchura o diámetro máx. exterior: 21 mm; espesor o diám. mínimo ext.: 15 mm; diámetros máximos de los orificios en las bases: 12 y 13 mm; peso: 7.4 g. Perforación bitroncocónica, diámetro interno de la perforación: 8x7 y 7x7.5 mm. |
| MA.7.197 | 2A-1A      | Cerámica           | Frag. de pared de cerámica manufacturada, pulida, de color negro con finos desgrasantes blancos de cuarzo y alguno micáceo, cocción reductora. Grosor 5 mm. Se recupera en la base del suelo excavado (z: 65 cm).   |
| MA.7.198 | Superficie | Cerámica           | Fragmento de fondo de cerámica a torno, color beige.  |

|          |            |          |  |
|----------|------------|----------|--|
| MA.7.199 | Superficie | Cerámica | Fragmento muy erosionado al parecer de TSH.  |
| MA.7.200 | 9A         | Cerámica | Frag. de pared de cerámica manufacturada, pulida, de color marrón al exterior y negro interior, cocción reductora. Desgrasantes medianos blancos. Grosor 7 mm. |
| MA.7.201 | 9A         | Óseo     | Esquirla ósea.   |
| MA.7.202 | 9A         | Óseo     | Esquirla ósea.   |
| MA.7.203 | 9A         | Óseo     | Esquirla ósea.   |
| MA.7.204 | 2Z         | Óseo     | Esquirla ósea.   |
| MA.7.205 | 2Z         | Óseo     | Esquirla ósea.   |
| MA.7.206 | 2Z         | Óseo     | Esquirla ósea.   |
| MA.7.207 | 2Z         | Óseo     | Esquirla ósea.   |
| MA.7.208 | 2Z         | Óseo     | Esquirla ósea.   |
| MA.7.209 | 2Z         | Óseo     | Esquirla ósea.   |
| MA.7.210 | 2Z         | Óseo     | Escafoides de pie humano.  |
| MA.7.211 | 2Z         | Óseo     | Falange humana.  |
| MA.7.212 | 2Z         | Óseo     | Frag. de costilla.   |
| MA.7.213 | 2Z         | Óseo     | Frag. de costilla.   |
| MA.7.214 | 2Z         | Óseo     | Frag. de costilla.   |
| MA.7.215 | 2Z         | Óseo     | Frag. de costilla.   |
| MA.7.216 | 2Z         | Óseo     | Frag. de costilla.   |
| MA.7.217 | 2Z         | Óseo     | Esquirla ósea.   |
| MA.7.218 | 2Z         | Óseo     | Esquirla ósea.   |
| MA.7.219 | 2Z         | Óseo     | Esquirla ósea.   |
| MA.7.220 | 2Z         | Óseo     | Esquirla ósea.   |
| MA.7.221 | 2Z         | Cerámica | 2 Frags. de pared de cerámica torneada que casan, con vidriado exterior de color rojizo. Pasta muy decantada. Grosor 3 mm. (Casa con el nº 222).               |
| MA.7.222 | 2Z         | Cerámica | Frag. de pared de cerámica torneada, con vidriado exterior de color rojizo. Pasta muy decantada. Grosor 3 mm. (Casa con el nº 221).                            |
| MA.7.223 | 2Z         | Cerámica | Frag. de pared de cerámica torneada, con vidriado exterior de color rojizo. Pasta muy decantada. Grosor 3 mm. (Casa con el nº 221).                            |
| MA.7.224 | 2Z         | Óseo     | Falange humana.  |
| MA.7.225 | 2Z         | Óseo     | Hueso humano del carpo.  |
| MA.7.226 | 2Z         | Óseo     | Frag. de vértebra.   |
| MA.7.227 | 2Z         | Óseo     | Frag. de vértebra.   |
| MA.7.228 | 2Z         | Óseo     | Frag. de costilla en mal estado de conservación.   |
| MA.7.229 | 2Z         | Óseo     | Frag. óseo no identificable.   |
| MA.7.230 | 2Z         | Óseo     | Frag. óseo no identificable.   |
| MA.7.231 | 2Z         | Óseo     | Frag. óseo no identificable.   |
| MA.7.232 | 2Z         | Óseo     | Frag. óseo no identificable.   |
| MA.7.233 | 7A         | Óseo     | Esquirla ósea.   |
| MA.7.234 | 7A         | Óseo     | Esquirla ósea.   |
| MA.7.235 | 7A         | Óseo     | Esquirla ósea.   |
| MA.7.236 | 7A         | Óseo     | Esquirla ósea.   |
| MA.7.237 | 2Z         | Óseo     | Falange humana.  |
| MA.7.238 | 2Z         | Óseo     | Frag. de costilla humana.  |
| MA.7.239 | 2Z         | Óseo     | Frag. de metatarsiano humano.  |
| MA.7.240 | 2Z         | Óseo     | Frag. de costilla.   |
| MA.7.241 | 2Z         | Óseo     | Vértebra lumbar de individuo joven, niño entre 8-12 años.  |



|          |    |       |   |
|----------|----|-------|---|
| MA.7.242 | 2Z | Óseo  | Epífisis proximal del fémur de un niño.                   |
| MA.7.243 | 2Z | Óseo  | Tarso: astrágalo.   |
| MA.7.244 | 2Z | Óseo  | Epífisis de metatarsiano.                                 |
| MA.7.245 | 2Z | Óseo  | Epífisis del 5º metatarsiano (encaja con el nº MA.7.244). |
| MA.7.246 | 2Z | Óseo  | Epífisis del codo.  |
| MA.7.247 | 2Z | Óseo  | Frag. de metatarso.                                       |
| MA.7.248 | 2Z | Óseo  | Esquirla ósea.  |
| MA.7.249 | 2Z | Óseo  | Epífisis del cúbito, olecranon.                           |
| MA.7.250 | 2Z | Óseo  | Esquirla ósea.  |
| MA.7.251 | 2Z | Óseo  | Esquirla ósea.  |
| MA.7.252 | 2Z | Óseo  | Frag. de costilla.  |
| MA.7.253 | 2Z | Óseo  | Frag. de costilla.  |
| MA.7.254 | 2Z | Óseo  | Frag. de costilla.  |
| MA.7.255 | 2Z | Óseo  | Frag. de costilla.  |
| MA.7.256 | 2Z | Óseo  | Esquirla ósea.  |
| MA.7.257 | 2Z | Óseo  | Esquirla ósea.  |
| MA.7.258 | 2Z | Óseo  | Esquirla ósea.  |
| MA.7.259 | 2Z | Óseo  | Frag. de cráneo humano con fractura reciente.             |
| MA.7.260 | 2Z | Óseo  | Frag. de vértebra.  |
| MA.7.261 | 2Z | Óseo  | Hueso del pie: 1º metatarsiano.                           |
| MA.7.262 | 2Z | Óseo  | Escafoides tarsiano.                                      |
| MA.7.263 | 2Z | Óseo  | Frag. de costilla.  |
| MA.7.264 | 2Z | Óseo  | Frag. de vértebra.  |
| MA.7.265 | 2Z | Óseo  | Esquirla ósea.  |
| MA.7.266 | 2Z | Óseo  | Frag. de vértebra h.                                      |
| MA.7.267 | 2Z | Óseo  | Esquirla ósea.  |
| MA.7.268 | 2Z | Óseo  | Esquirla ósea.  |
| MA.7.269 | 2Z | Óseo  | Frag. de vértebra humana.                                 |
| MA.7.270 | 2Z | Óseo  | Frag. de vértebra humana.                                 |
| MA.7.271 | 2Z | Óseo  | Esquirla ósea.  |
| MA.7.272 | 2Z | Óseo  | Frag. de omoplato.  |
| MA.7.273 | 2Z | Óseo  | Esquirla ósea.  |
| MA.7.274 | 2Z | Óseo  | Frag. de diáfisis.  |
| MA.7.275 | 2Z | Óseo  | Esquirla ósea.  |
| MA.7.276 | 2Z | Óseo  | Tejido esponjoso de epífisis.                             |
| MA.7.277 | 2Z | Óseo  | Esquirla ósea.  |
| MA.7.278 | 2Z | Óseo  | Esquirla ósea.  |
| MA.7.279 | 2Z | Óseo  | Esquirla ósea.  |
| MA.7.280 | 2Z | Sílex | Frag. de lasca de sílex gris oscuro, modo 3.              |
| MA.7.281 | 2Z | Óseo  | Frag. de costilla.  |
| MA.7.282 | 2Z | Óseo  | Frag. de costilla.  |
| MA.7.283 | 2Z | Óseo  | Frag. de costilla.  |
| MA.7.284 | 2Z | Óseo  | Frag. de costilla.  |
| MA.7.285 | 2Z | Óseo  | Frag. de costilla.  |
| MA.7.286 | 2Z | Óseo  | Frag. de costilla.  |
| MA.7.287 | 2Z | Óseo  | Frag. de costilla.  |
| MA.7.288 | 2Z | Óseo  | Frag. de costilla.  |
| MA.7.289 | 2Z | Óseo  | Frag. de costilla.  |



MEMORIA DE LA INTERVENCIÓN ARQUEOLÓGICA EN LA ESTRUCTURA TUMULAR...

|          |    |        |  |
|----------|----|--------|--|
| MA.7.290 | 2Z | Óseo   | Frag. de costilla.   |
| MA.7.291 | 2Z | Óseo   | Frag. de costilla.   |
| MA.7.292 | 2Z | Óseo   | Epífisis de peroné (Muestra de C14. z: 117. Muestra sigla Lab.: GrA- 18889; Lecho: 2; Fecha BP sin cal.: 4560±70; Fecha A.C. sin cal.: 2610±70; Fecha a.C. (cal. 2σ): 3510-3030. |
| MA.7.293 | 2Z | Óseo   | Frag. de vértebra.   |
| MA.7.294 | 2Z | Óseo   | Apófisis articular de vértebra.  |
| MA.7.295 | 2Z | Óseo   | Apófisis articular de vértebra.  |
| MA.7.296 | 2Z | Óseo   | Apófisis articular de vértebra.  |
| MA.7.297 | 2Z | Óseo   | Frag. de vértebra.   |
| MA.7.298 | 2Z | Óseo   | Incisivo superior humano.  |
| MA.7.299 | 2Z | Óseo   | Frag. de falange.  |
| MA.7.300 | 2Z | Óseo   | Esquirla ósea.   |
| MA.7.301 | 2Z | Óseo   | Esquirla ósea no identificable.  |
| MA.7.302 | 2Z | Óseo   | Frag. de epífisis.   |
| MA.7.303 | 2Z | Óseo   | Frag. de epífisis.   |
| MA.7.304 | 2Z | Óseo   | Hueso del carpo.   |
| MA.7.305 | 2Z | Óseo   | Frag. de epífisis.   |
| MA.7.306 | 2Z | Óseo   | Frag. de epífisis.   |
| MA.7.307 | 2Z | Óseo   | Frag. no identificable.  |
| MA.7.308 | 2Z | Óseo   | Frag. no identificable.  |
| MA.7.309 | 2Z | Óseo   | Esquirla ósea.   |
| MA.7.310 | 2Z | Óseo   | Esquirla ósea.   |
| MA.7.311 | 2Z | Óseo   | Esquirla ósea.   |
| MA.7.312 | 2Z | Óseo   | Esquirla ósea.   |
| MA.7.313 | 2Z | Óseo   | Frag. de epífisis.   |
| MA.7.314 | 2Z | Óseo   | Esquirla ósea.   |
| MA.7.315 | 2Z | Óseo   | Esquirla ósea.   |
| MA.7.316 | 2Z | Óseo   | Esquirla ósea.   |
| MA.7.317 | 2Z | Óseo   | Parte articular del calcáneo (articular con el astrágalo).   |
| MA.7.318 | 2Z | Óseo   | Esquirla de vértebra.  |
| MA.7.319 | 2Z | Óseo   | Molar humano, individuo joven, con el ápice sin cerrar.  |
| MA.7.320 | 2Z | Pétreo | Frag. de piedra verde pulimentada.   |
| MA.7.321 | 2Z | Óseo   | Astrágalo.   |
| MA.7.322 | 2Z | Óseo   | Frag. de la 1ª costilla.   |
| MA.7.323 | 2Z | Óseo   | Frag. de costilla.   |
| MA.7.324 | 2Z | Óseo   | Zona medial del radio (fractura actual).   |
| MA.7.325 | 2Z | Óseo   | Frag. de costilla.   |
| MA.7.326 | 2Z | Óseo   | Frag. de pelvis.   |
| MA.7.327 | 2Z | Óseo   | Frag. óseo no identificable.   |
| MA.7.328 | 2Z | Óseo   | Frag. de tarso.  |
| MA.7.329 | 2Z | Óseo   | Esquirla ósea.   |
| MA.7.330 | 2Z | Óseo   | Frag. de epífisis de la tibia de un niño ¿?  |
| MA.7.331 | 2Z | Óseo   | 2º o 3º metatarsiano.  |
| MA.7.332 | 2Z | Óseo   | Esquirla ósea.   |
| MA.7.333 | 2Z | Óseo   | Falange humana.  |
| MA.7.334 | 2Z | Óseo   | Esquirla ósea.   |
| MA.7.335 | 2Z | Óseo   | Esquirla ósea.   |
| MA.7.336 | 2Z | Óseo   | Esquirla ósea.   |
| MA.7.337 | 2Z | Óseo   | Frag. de vértebra.   |
| MA.7.338 | 2Z | Óseo   | Esquirla ósea.   |
| MA.7.339 | 2Z | Óseo   | Esquirla ósea.   |

|          |            |          |   |
|----------|------------|----------|---|
| MA.7.340 | 2Z         | Óseo     | Esquirla ósea.  |
| MA.7.341 | 2Z         | Óseo     | Esquirla ósea.  |
| MA.7.342 | 2Z         | Óseo     | Esquirla ósea.  |
| MA.7.343 | 2Z         | Óseo     | 5 vértebras completas del sacro (falta el coxis): 1 <sup>a</sup> y 2 <sup>a</sup> sacras completas, 3 <sup>a</sup> incompleta, 4 <sup>a</sup> completa y 5 <sup>a</sup> completa. |
| MA.7.344 | 2Z         | Óseo     | ¿Platillo epifisario tibial de un niño?   |
| MA.7.345 | 2Z         | Óseo     | Vértebra torácica o dorsal de adulto, con picos de artrosis.  |
| MA.7.346 | Superficie | Óseo     | Frag. de diáfisis.  |
| MA.7.347 | Superficie | Óseo     | Frag. de costilla.  |
| MA.7.348 | Superficie | Óseo     | Frag. de omoplato.  |
| MA.7.349 | Superficie | Óseo     | Frag. de diáfisis.  |
| MA.7.350 | Superficie | Óseo     | Cabeza femoral.   |
| MA.7.351 | Superficie | Óseo     | Frag. de costilla.  |
| MA.7.352 | Superficie | Óseo     | Frag. de costilla.  |
| MA.7.353 | Superficie | Óseo     | Vértebra cervical en perfecto estado de conservación.   |
| MA.7.354 | Superficie | Óseo     | Frag. de vértebra cervical.   |
| MA.7.355 | Superficie | Óseo     | Frag. de vértebra.  |
| MA.7.356 | Superficie | Óseo     | Frag. de costilla.  |
| MA.7.357 | Superficie | Óseo     | Diáfisis.   |
| MA.7.358 | Superficie | Óseo     | Frag. de costilla.  |
| MA.7.359 | Superficie | Óseo     | Incisivo de adulto, roto con abrasión hasta la zona pulpar.   |
| MA.7.360 | Superficie | Óseo     | Falange.  |
| MA.7.361 | Superficie | Óseo     | Frag. óseos (3).  |
| MA.7.362 | Superficie | Óseo     | Frag. de fémur de joven con impronta de cartílago.  |
| MA.7.363 | Superficie | Sílex    | Raspador en lasca de doble cara bulbar, de sílex blanco [R1].   |
| MA.7.364 | Superficie | Cerámica | Frag. de TSH.   |
| MA.7.365 | Superficie | Cerámica | Frag. de dolia muy rodada.  |
| MA.7.366 | Superficie | Cerámica | Frag. de dolia.   |
| MA.7.367 | Superficie | Cerámica | Frag. de dolia.   |
| MA.7.368 | Superficie | Cerámica | Frag. de TSH con parte de una figurita.   |
| MA.7.369 | Superficie | Cerámica | Frag. de cerámica pigmentada, asa gris metálico.  |
| MA.7.370 | Superficie | Óseo     | Frag. de costilla.  |
| MA.7.371 | Superficie | Óseo     | Frag. de costilla.  |
| MA.7.372 | Superficie | Óseo     | Frag. de costilla.  |
| MA.7.373 | Superficie | Óseo     | Esquirla ósea.  |
| MA.7.374 | Superficie | Óseo     | Esquirla ósea.  |
| MA.7.375 | Superficie | Óseo     | Esquirla ósea.  |
| MA.7.376 | Superficie | Óseo     | Incisivo inferior, abrasión grado 3, alterado por agentes atmosféricos.   |
| MA.7.377 | Superficie | Óseo     | Esquirla ósea.  |
| MA.7.378 | Superficie | Sílex    | Frag. de lasca de sílex blanco grisáceo, fractura diametral. Modo 3.  |
| MA.7.379 | Superficie | Sílex    | Frag. de lasca de sílex gris, talón liso. Modo 3.   |
| MA.7.380 | Superficie | Sílex    | Frag. de lasca de sílex blanco. Modo 3.   |
| MA.7.381 | Superficie | Sílex    | Frag. prox. de lasca de sílex blanco con retoque ecaillé inverso proximal (¿de uso?). Modo 3.   |
| MA.7.382 | Superficie | Sílex    | Frag. prox-medial de laminita de sílex blanco, talón facetado y retoque Smi lat sen. Spd enc. Modo 3.   |



## MEMORIA DE LA INTERVENCIÓN ARQUEOLÓGICA EN LA ESTRUCTURA TUMULAR...

|          |            |          |  |
|----------|------------|----------|--|
| MA.7.383 | Superficie | Fauna    | Fragmento craneal (maxilar) de lagomorfo, conejo o liebre.   |
| MA.7.384 | Superficie | Óseo     | Epífisis del radio.  |
| MA.7.385 | Superficie | Óseo     | Falange.   |
| MA.7.386 | Superficie | Óseo     | Premolar sano con abrasión parcial.  |
| MA.7.387 | Superficie | Óseo     | Vértebra completa.   |
| MA.7.388 | Superficie | Óseo     | Hueso (¿del tarso?).   |
| MA.7.389 | Superficie | Óseo     | 3 esquirlas óseas.   |
| MA.7.390 | Superficie | Sílex    | Frag. de laminita de sílex gris.   |
| MA.7.391 | Superficie | Sílex    | Frag. medial de lám. de sílex gris, alteración por fuego o hielo.  |
| MA.7.392 | Superficie | Cerámica | Frag. pared pulida de cerámica manufacturada, cocción mixta, color rojizo al exterior y negro al interior, con gruesos desgrasantes minerales de color blanco. |

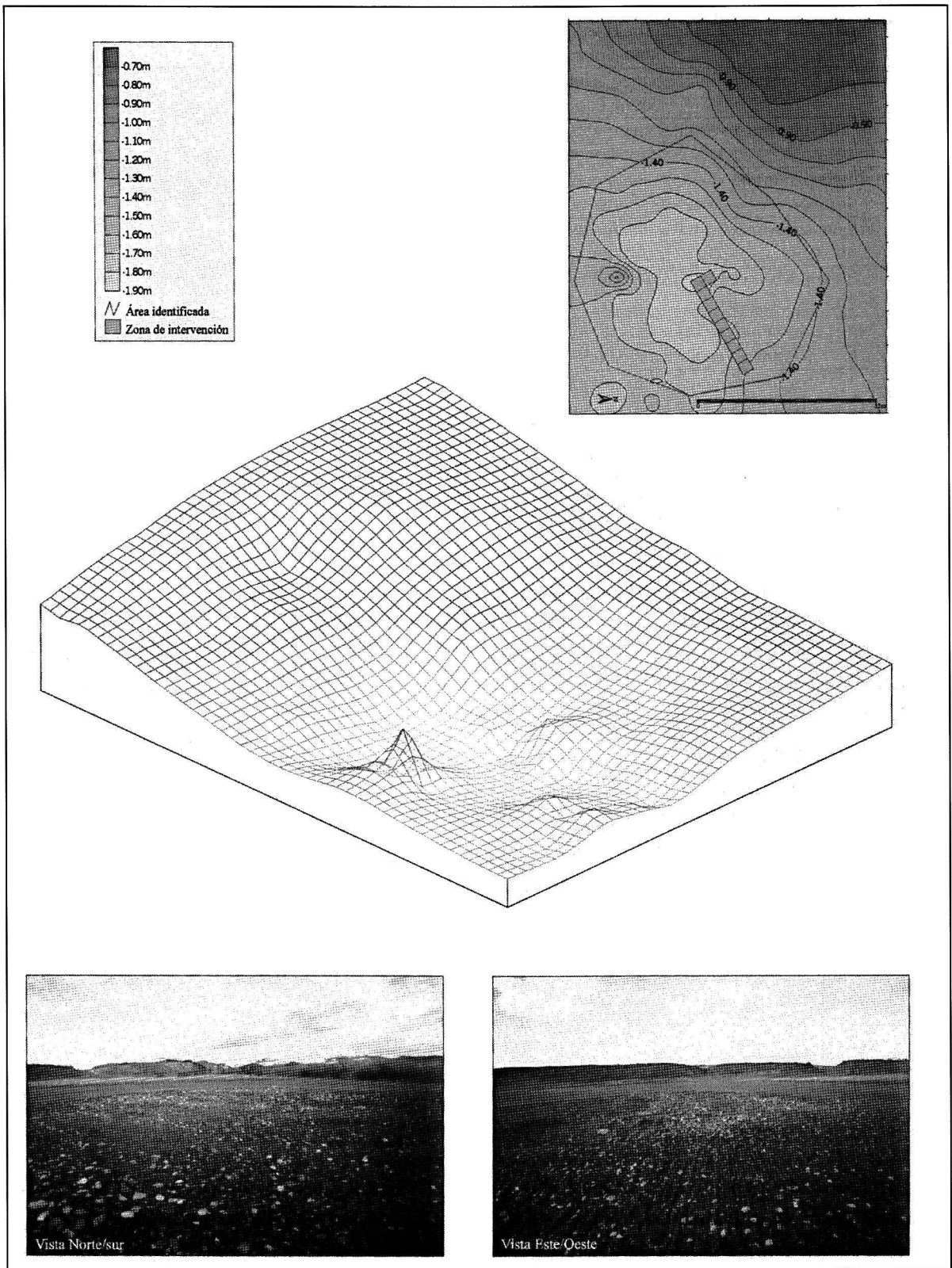


Figura 2.- Sotoaldea: microtopografía del terreno, localización de la Zanja en el área de la estructura y fotos del yacimiento al inicio de la intervención.

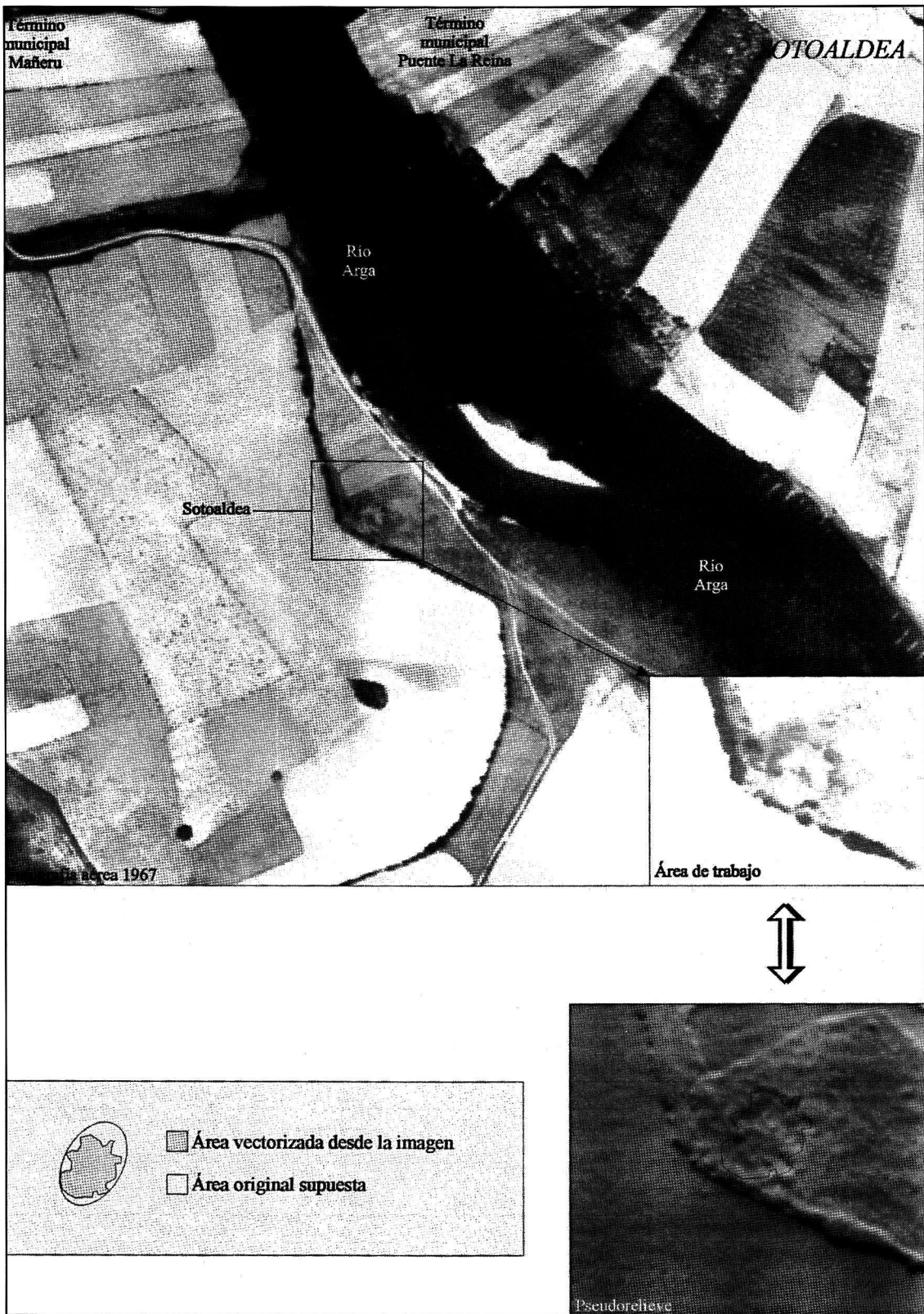


Figura 3.- Fotografía aérea 1967 (DFN): proceso de identificación de la morfología del yacimiento.

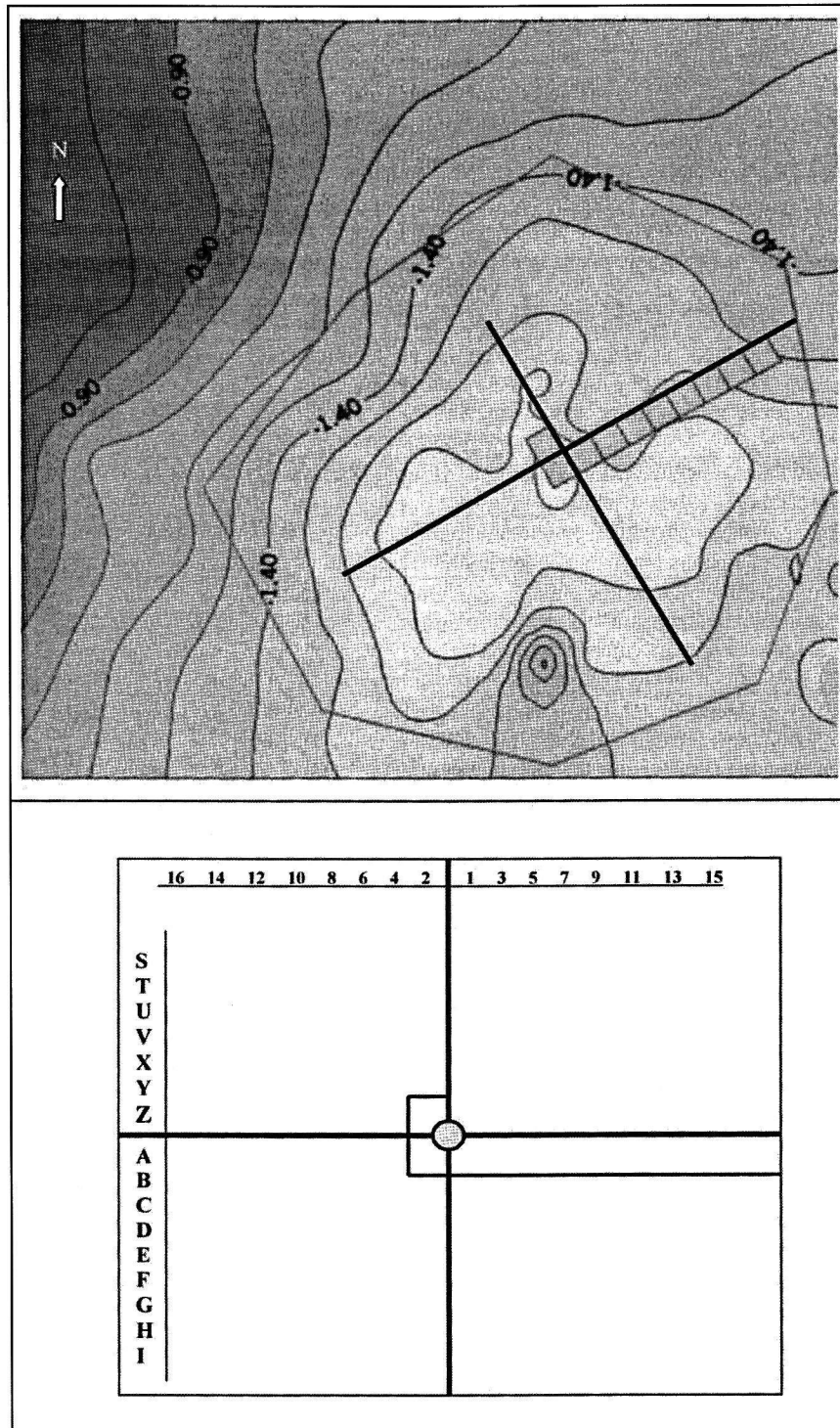


Figura 4.- Planimetría del yacimiento señalando la cuadrícula y la zanja de la intervención.

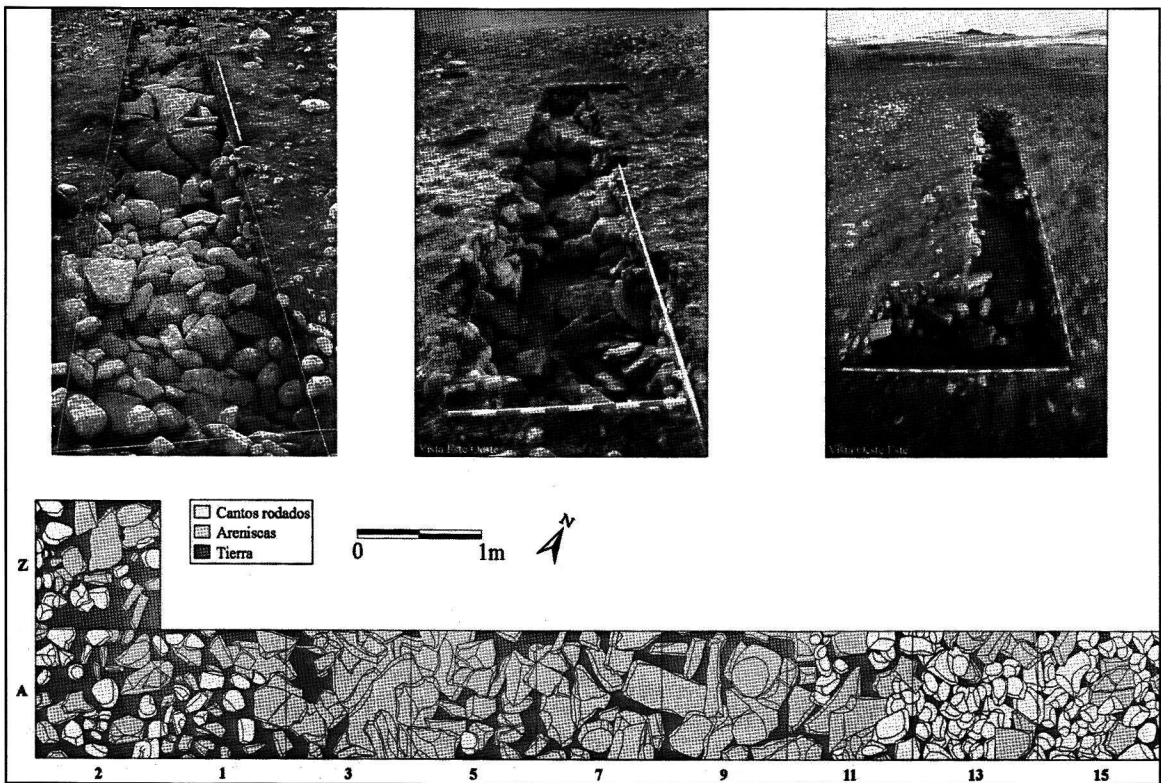


Figura 5.- Vistas generales de la Zanja: 1 primera limpieza de la zona delimitada; 2 y 3 diferentes tomas tras la excavación. Planimetría donde se discriminan cantos y areniscas.

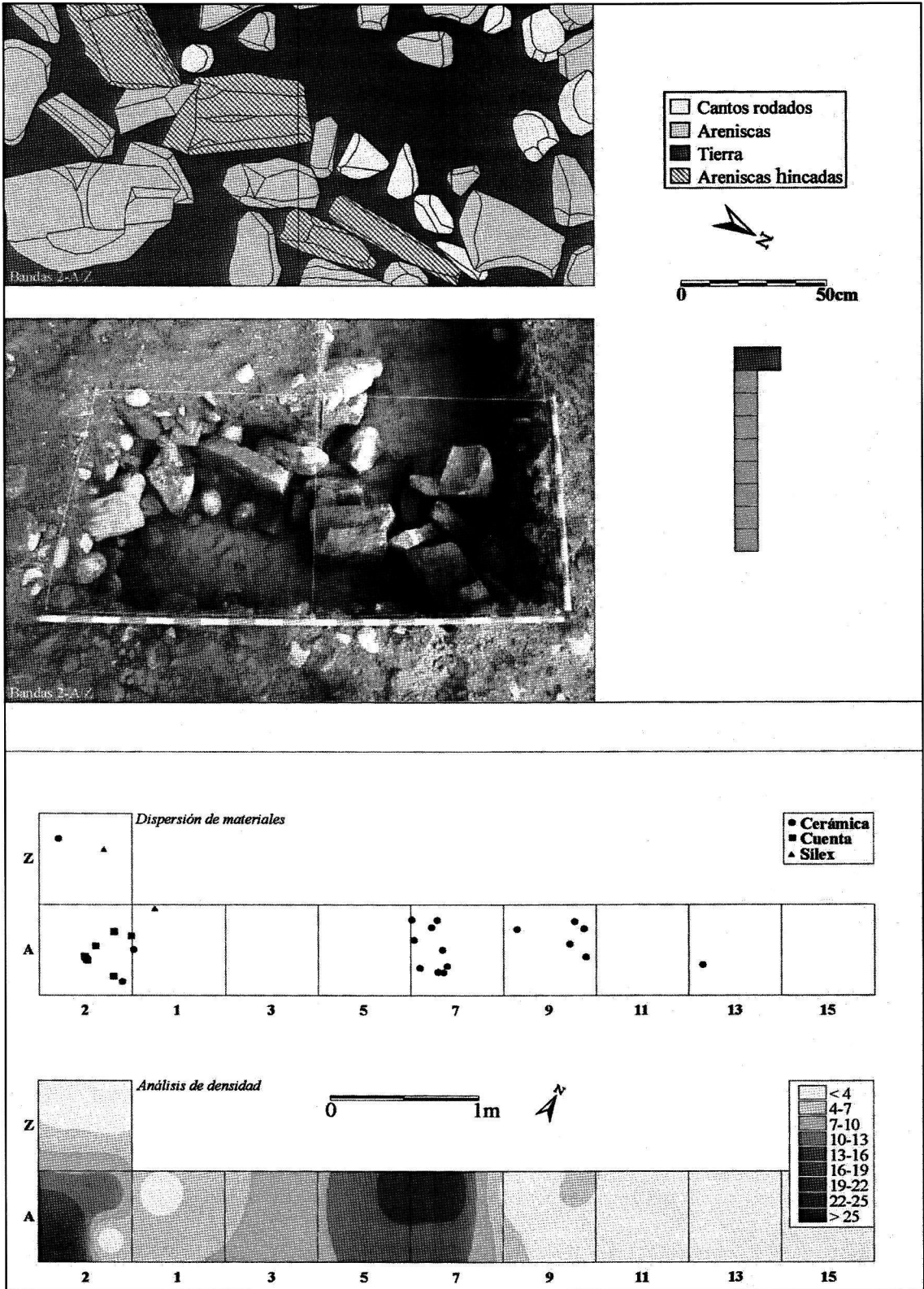


Figura 6.- Superior: Área del probable recinto cameral donde se aprecian algunas lajas hincadas (2A /2Z)  
 Inferior: dispersión de los materiales en planta.

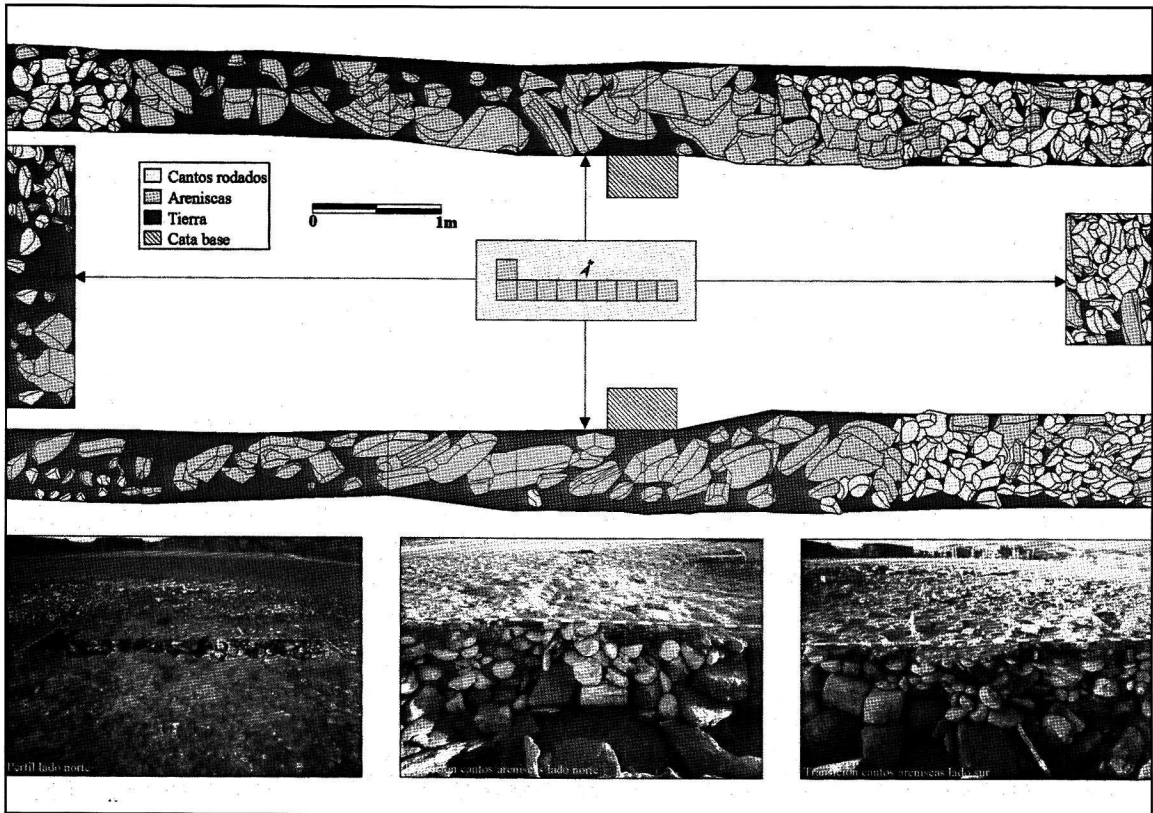


Figura 7.- Diferentes perfiles y detalles al término de la intervención.

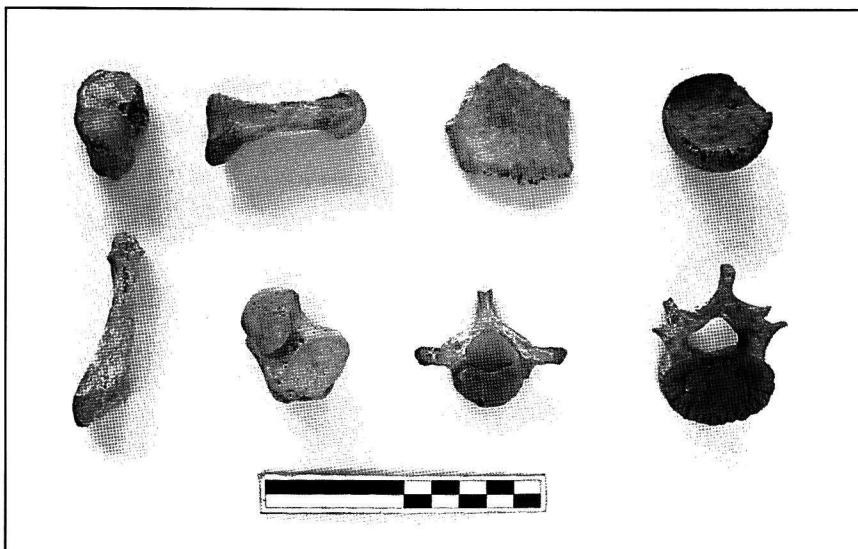
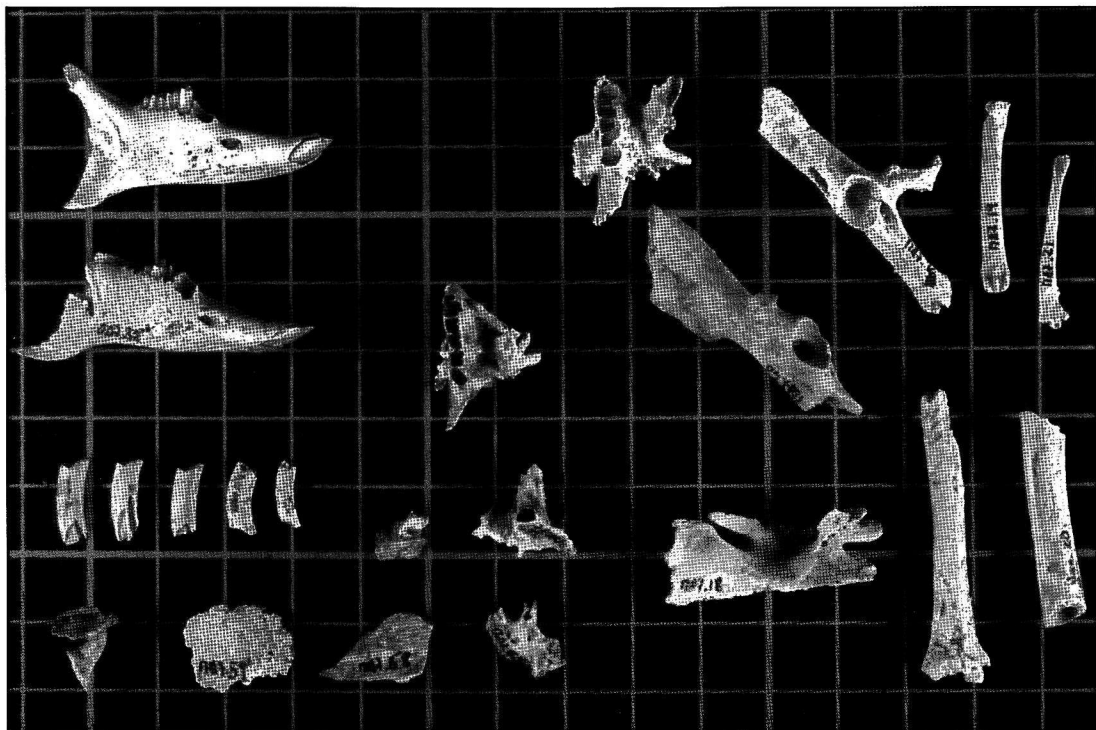


Figura 8.- Muestreo de restos humanos: escafoides tarsiano (MA7.262), primer metatarsiano (MA7.261), fragmento de cráneo (MA7.259), epífisis proximal de fémur de un niño (MA7.242), 5º metatarsiano (MA7.244 y 245), astrágalo (MA7.243), 1ª vértebra dorsal con apófisis espinosa bífida (MA7.148) y vértebra lumbar de joven entre 8-12 años (MA7.241).



Figura 9.- Fauna. En la foto superior: diferentes epífisis de lagomorfos y cintura pelviana. Inferior: fragmentos de cráneo, de piezas dentarias y cintura pelviana.



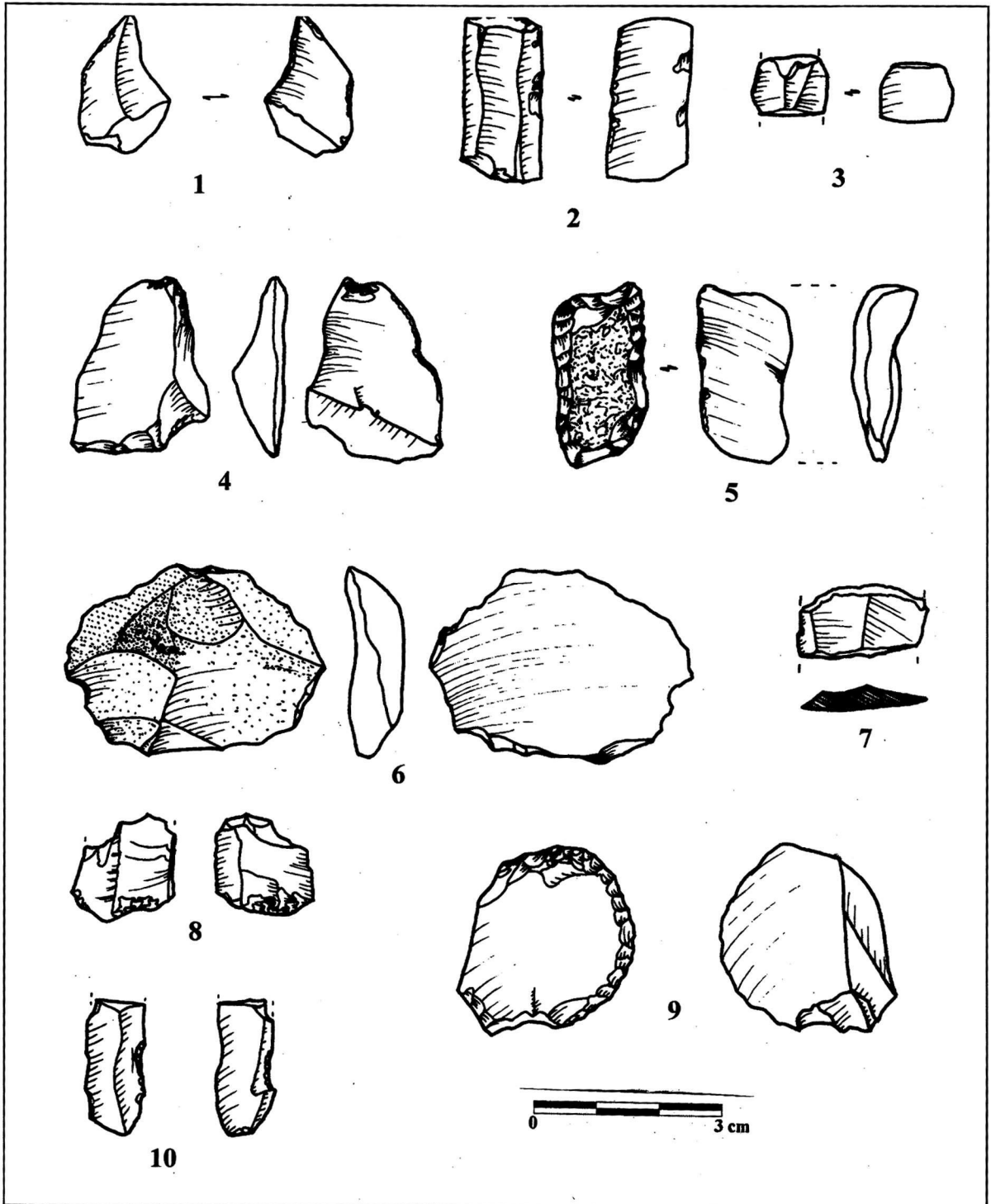


Figura 10.- Industria lítica tallada: perforador atípico (1) , lámina con retoque por uso (2), fragmentos de láminas (3 y 7), lasca con retoque ecaillé (4), diverso (5), lasca denticulada (6), lámina con retoque ecaillé (8), raspador (9) y fragmento de lámina con muesca (10)

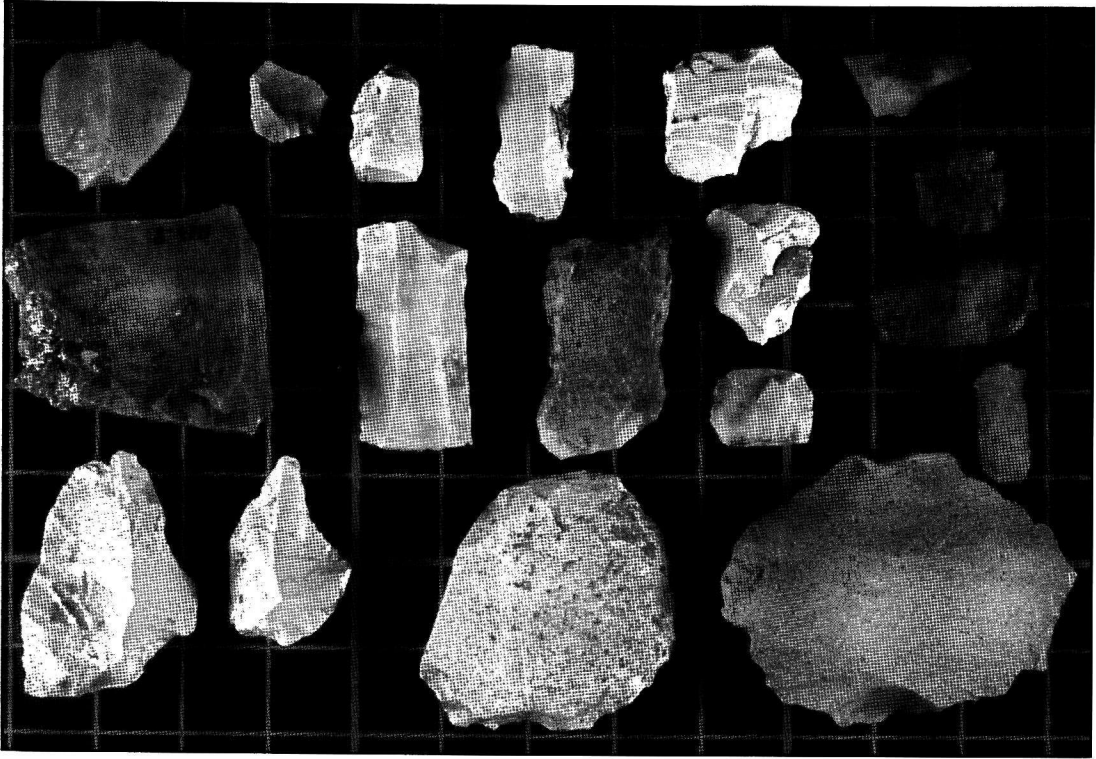
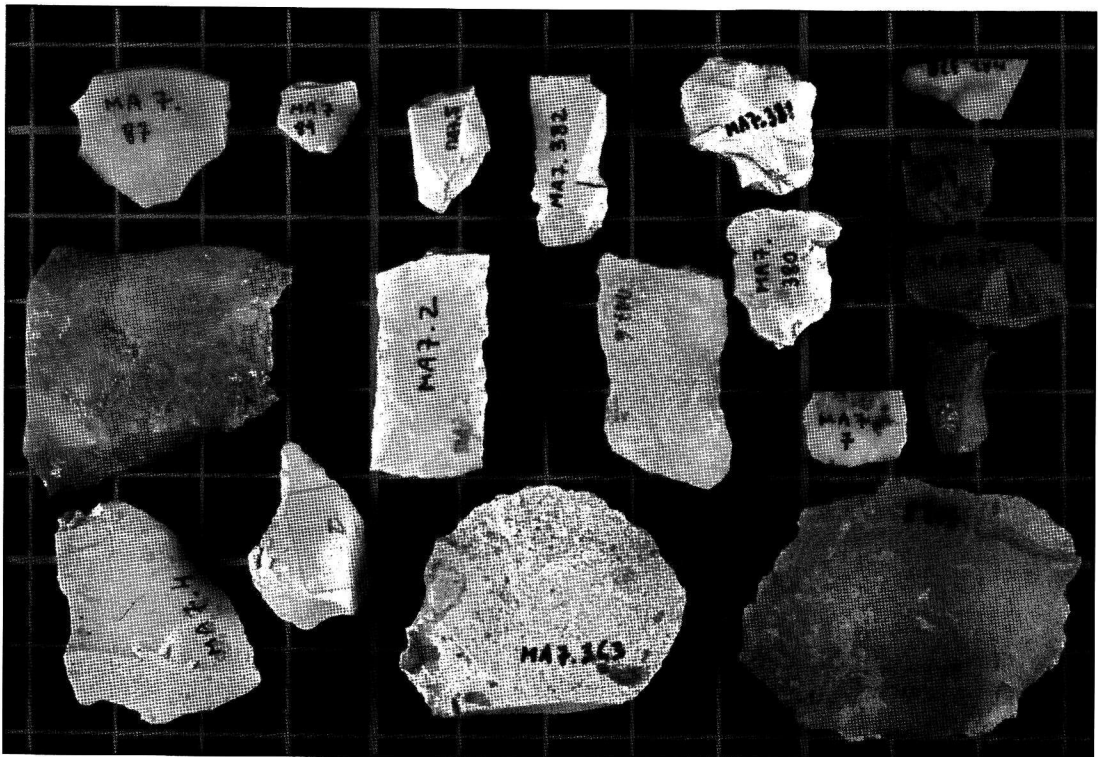


Figura 11.- Piezas líticas talladas: Superior anverso e inferior reverso.



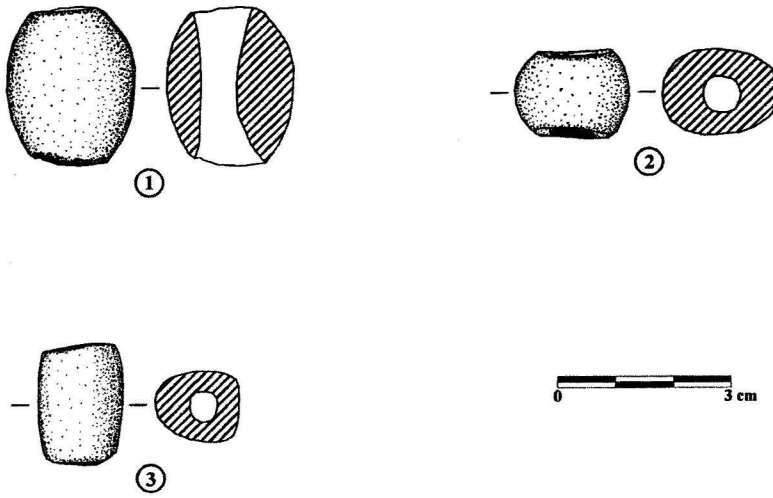


Figura 12.- Cuentas de collar en piedras pulimentadas.

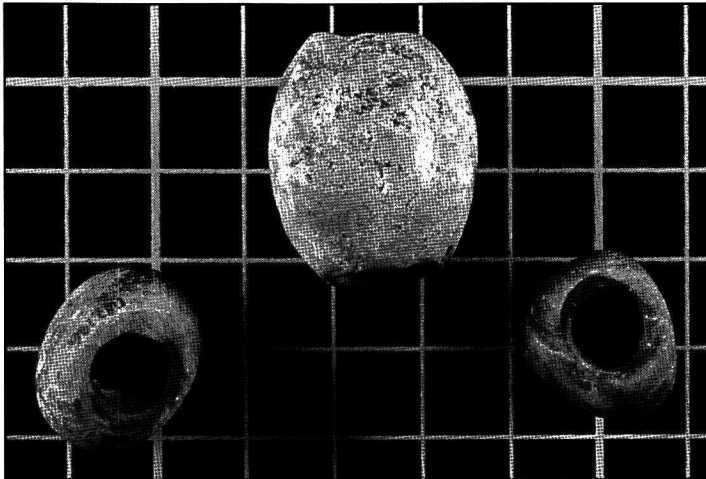
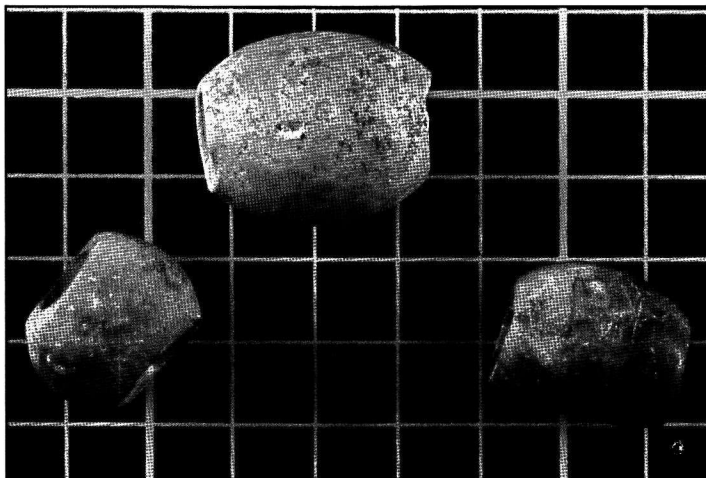


Figura 13.- Diferentes posiciones de las cuentas de collar en roca pulimentada.



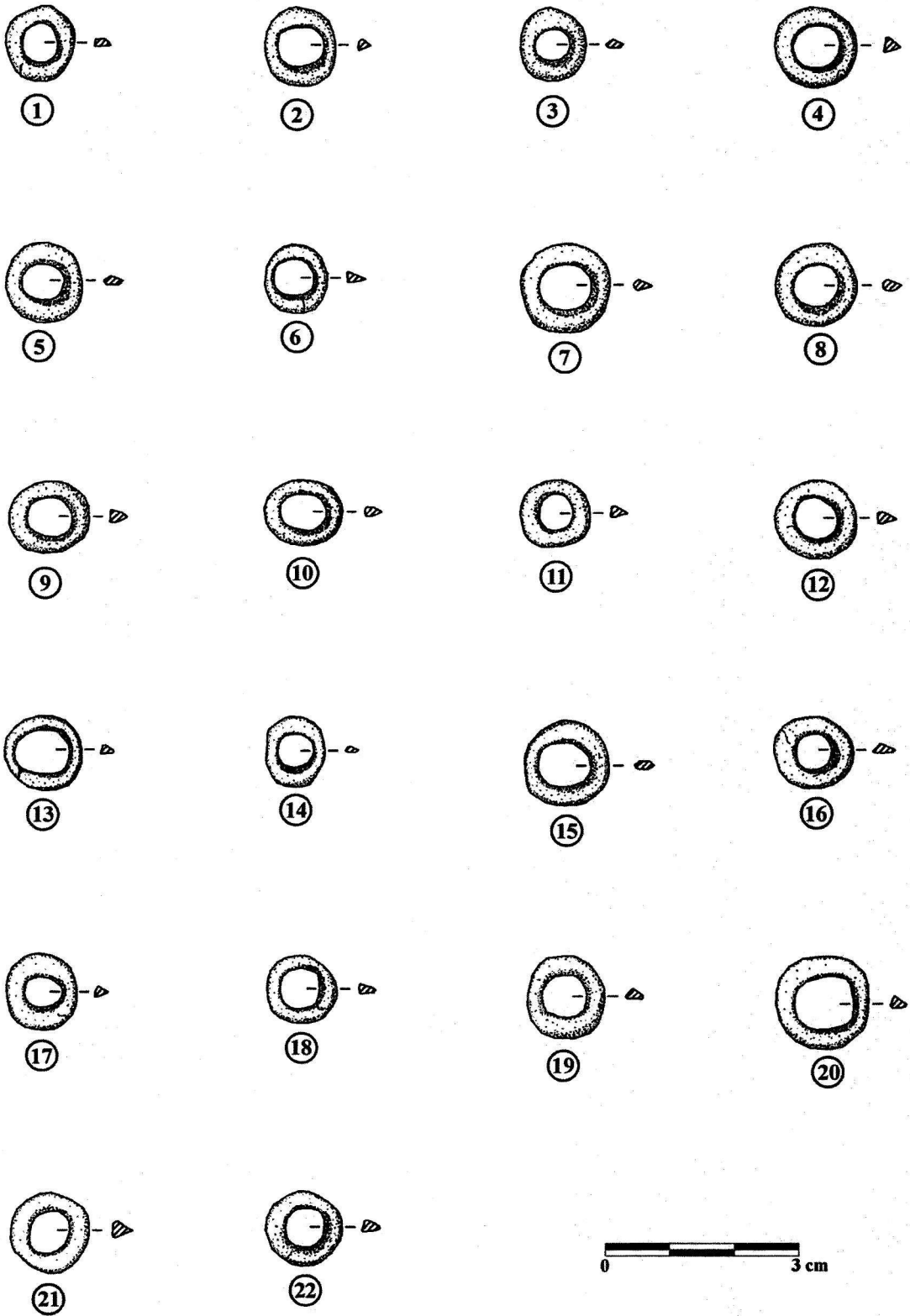


Figura 14.- Cuentas de collar en hueso, tipo arete.

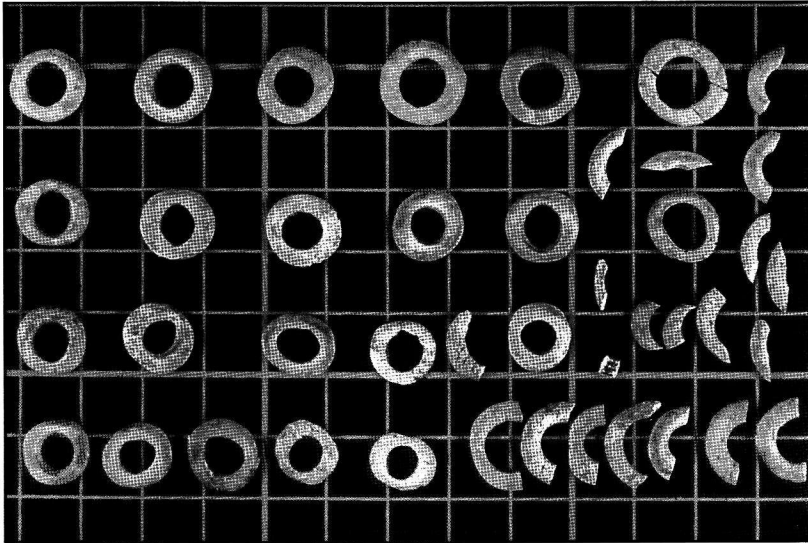


Figura 15.- Cuentas de collar en hueso, tipo arete o anulares.

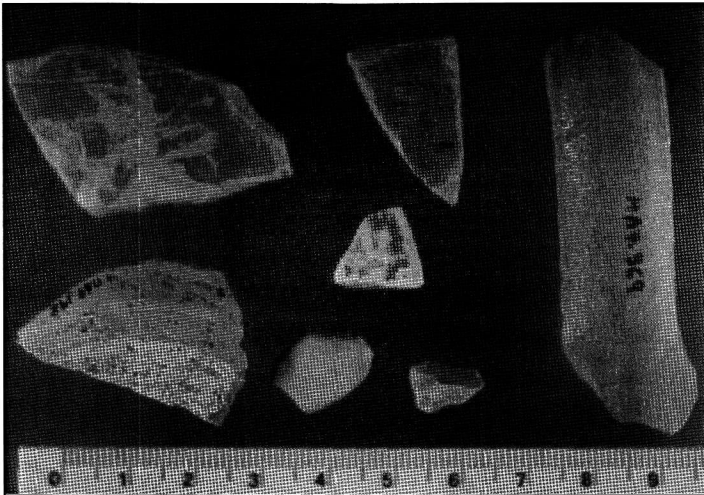
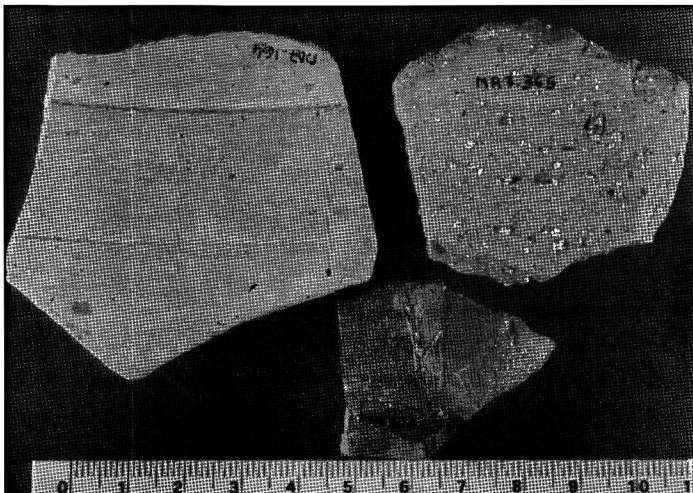


Figura 16.- Fragmentos cerámicos recuperados en superficie.



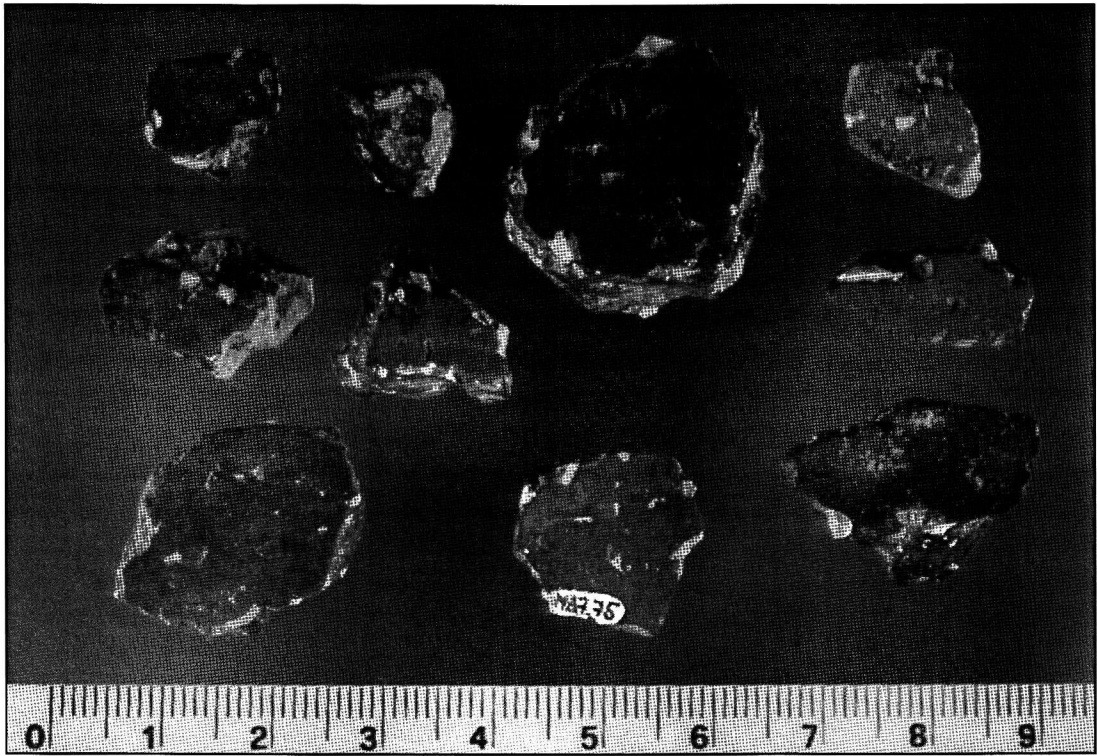
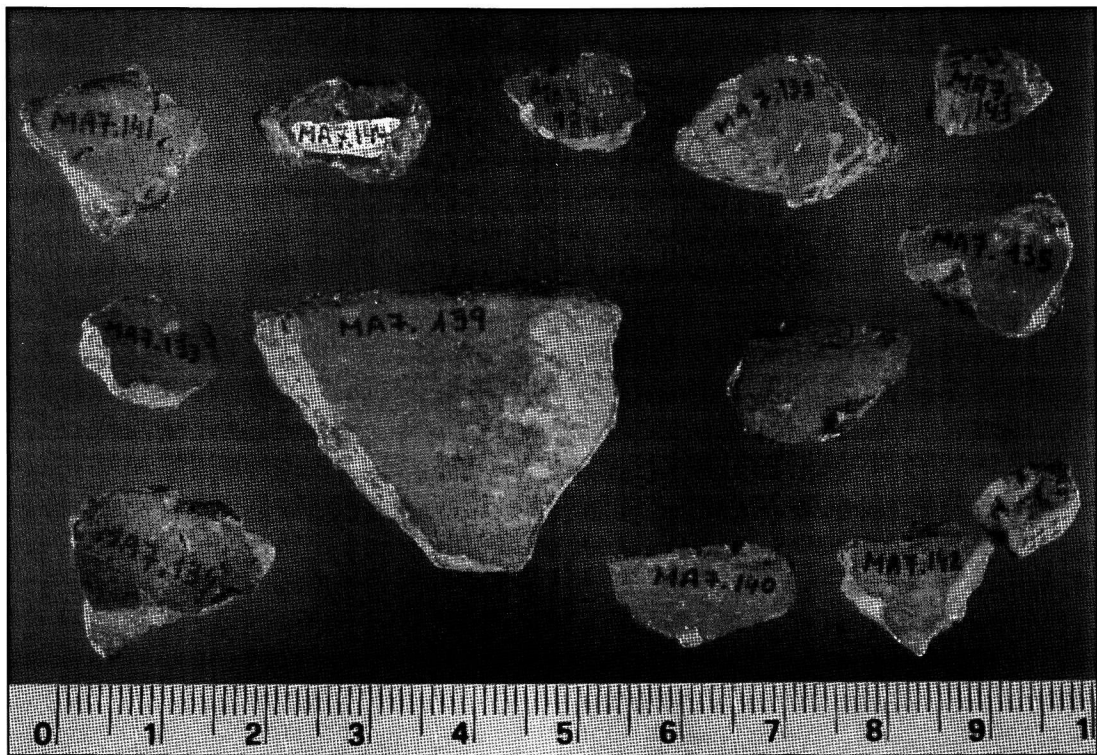


Figura 17.- Cerámicas manufacturadas recuperadas en excavación en las que se observan el contraste entre las superficies oscuras y los desgrasantes blancos.



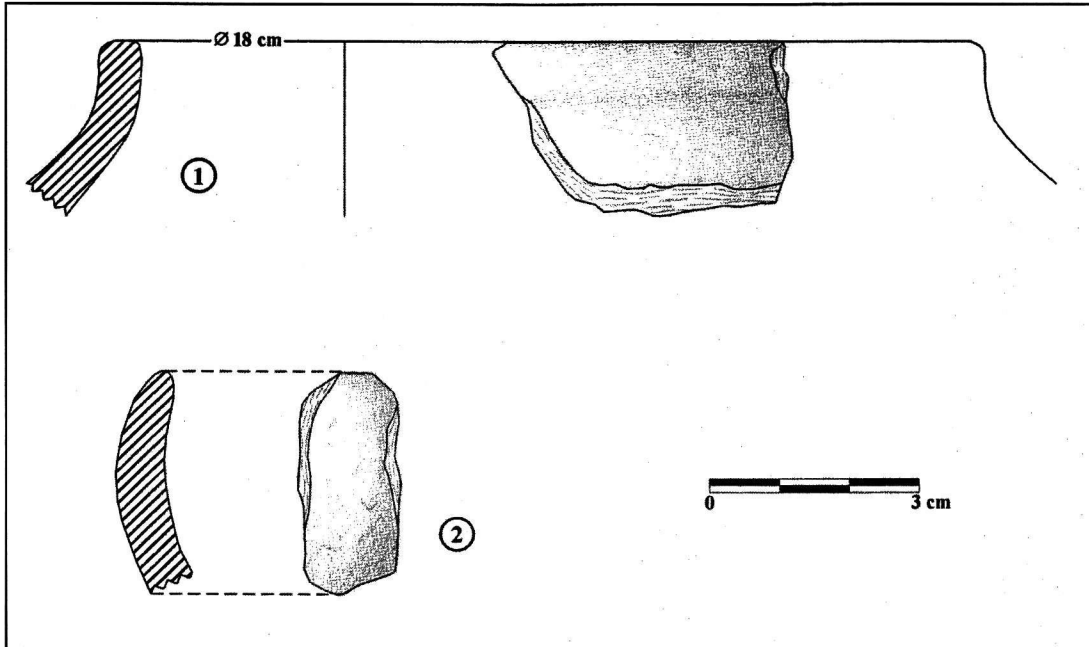


Figura 18.- Dibujos: Bordes de vasijas manufacturadas. En la foto inferior los mismos fragmentos de bordes (1 y 2) y otros fragmentos de paredes también de vasijas manufacturadas.

